

Центральноукраїнський національний технічний університет
Механіко-технологічний факультет
Кафедра кібербезпеки та програмного забезпечення

”Допущено до захисту”
Завідувач кафедри кібербезпеки
та програмного забезпечення
д.т.н., професор
_____ Олексій СМІРНОВ
« ____ » _____ 2023 р.

ВИПУСКНА КВАЛІФІКАЦІЙНА РОБОТА
за другим (магістерським) рівнем вищої освіти
на тему
“Дослідження та програмна реалізація системи стиснення
растрових зображень без втрати якості”

Виконав здобувач вищої освіти
II курсу, групи КН-22М-2
ОПП «Комп’ютерні науки»
спеціальності 122 «Комп’ютерні науки»
_____ Мікіньов В.І.
« ____ » _____ 2023 р.

Керівник проекту
кандидат технічних наук
_____ Буравченко К.О.
« ____ » _____ 2023 р.
Рецензент _____

Центральноукраїнський національний технічний університет
Факультет Механіко-технологічний
Кафедра Кібербезпеки та програмного забезпечення
Рівень вищої освіти магістр
Галузь знань 12 “Інформаційні технології”
Спеціальність 122 “Комп’ютерні науки”
Освітньо-професійна (освітньо-наукова) програма “Комп’ютерні науки”

ЗАТВЕРДЖУЮ

Завідувач кафедри

д.т.н., проф.

Олексій СМІРНОВ

« 6 » вересня 2023 року

ЗАВДАННЯ НА ВИПУСКНУ КВАЛІФІКАЦІЙНУ РОБОТУ ЗА ДРУГИМ (МАГІСТЕРСЬКИМ) РІВНЕМ ВИЩОЇ ОСВІТИ ЗДОБУВАЧА ВИЩОЇ ОСВІТИ

Мікіньову Валерію Ігоровичу

(прізвище, ім'я, по батькові)

- | | | | | | | | | | | | |
|--|--|--|----------------------------|---|---|--|--|--|---------------------|--|--|
| 1. Тема роботи | <u>Дослідження та програмна реалізація системи стиснення растрових зображень без втрати якості</u> | | | | | | | | | | |
| 2. Керівник роботи | <u>Буравченко Костянтин Олегович, канд. техн. наук</u>
(прізвище, ім'я, по батькові, науковий ступінь, вчене звання) | | | | | | | | | | |
| затверджені наказом вищого навчального закладу № 33-13 від 04.08.2023 року | | | | | | | | | | | |
| 3. Строк подання студентом роботи до захисту | <u>10.12.2023 р.</u> | | | | | | | | | | |
| 4. Мета та завдання випускної кваліфікаційної роботи: | <u>Метою розробки є дослідження та програмна реалізація системи стиснення растрових зображень без втрати якості</u> | | | | | | | | | | |
| 5. Зміст розрахунково-пояснювальної записки (перелік питань, які потрібно розробити) | <table border="1"><tr><td><u>1. Призначення та область використання.</u></td><td><u>6. Наукова новизна.</u></td></tr><tr><td><u>2. Перегляд аналогічних існуючих систем.</u></td><td><u>7. Економічна ефективність розробленої програми.</u></td></tr><tr><td><u>3. Опис і обґрунтування проектних рішень.</u></td><td><u>8. Заходи з охорони праці та техніки безпеки.</u></td></tr><tr><td><u>4. Етапи програмування системи.</u></td><td><u>9. Висновки.</u></td></tr><tr><td><u>5. Впровадження системи в промислову експлуатацію</u></td><td></td></tr></table> | <u>1. Призначення та область використання.</u> | <u>6. Наукова новизна.</u> | <u>2. Перегляд аналогічних існуючих систем.</u> | <u>7. Економічна ефективність розробленої програми.</u> | <u>3. Опис і обґрунтування проектних рішень.</u> | <u>8. Заходи з охорони праці та техніки безпеки.</u> | <u>4. Етапи програмування системи.</u> | <u>9. Висновки.</u> | <u>5. Впровадження системи в промислову експлуатацію</u> | |
| <u>1. Призначення та область використання.</u> | <u>6. Наукова новизна.</u> | | | | | | | | | | |
| <u>2. Перегляд аналогічних існуючих систем.</u> | <u>7. Економічна ефективність розробленої програми.</u> | | | | | | | | | | |
| <u>3. Опис і обґрунтування проектних рішень.</u> | <u>8. Заходи з охорони праці та техніки безпеки.</u> | | | | | | | | | | |
| <u>4. Етапи програмування системи.</u> | <u>9. Висновки.</u> | | | | | | | | | | |
| <u>5. Впровадження системи в промислову експлуатацію</u> | | | | | | | | | | | |
| 6. Перелік графічного матеріалу (з точним зазначенням обов'язкових креслень) | | | | | | | | | | | |
| <u>Наукова новизна</u> | <u>1 аркуш</u> | | | | | | | | | | |
| <u>Структурна схема системи</u> | <u>1 аркуш</u> | | | | | | | | | | |
| <u>Функціональна схема системи</u> | <u>1 аркуш</u> | | | | | | | | | | |
| <u>Діаграма процесів</u> | <u>1 аркуш</u> | | | | | | | | | | |
| <u>Блок-схема алгоритму роботи додатку</u> | <u>2 аркуша</u> | | | | | | | | | | |
| <u>Показники економічної ефективності</u> | <u>1 аркуш</u> | | | | | | | | | | |

6. Консультанти розділів роботи

Розділ	Прізвище, ініціали та посада консультанта	Підпис, дата	
		завдання видав	завдання прийняв
Економічний	Савеленко Г.В.	05.10.2023	14.11.2023
Охорона праці	Оришака О.В.	06.10.2023	16.11.2023

7. Дата видачі завдання « 6 » вересня 2023 р.

КАЛЕНДАРНИЙ ПЛАН

№ з/п	Назва етапів випускної кваліфікаційної роботи за другим (магістерським) рівнем вищої освіти	Строк виконання етапів випускної кваліфікаційної роботи за другим (магістерським) рівнем вищої освіти	Примітка
1.	Аналіз існуючих систем	10.10.2023 р.	
2.	Постановка задачі, оформлення ТЗ	15.10.2023 р.	
3.	Розробка моделі компонента	20.10.2023 р.	
4.	Розробка структур даних	25.10.2023 р.	
5.	Розробка алгоритмів зв'язку та відображення	30.10.2023 р.	
6.	Програмування алгоритмів	10.11.2023 р.	
7.	Розрахунок економічної ефективності	13.11.2023 р.	
8.	Розрахунки з охорони праці та техніки безпеки	15.11.2023 р.	
9.	Оформлення ПЗ	17.11.2023 р.	
10.	Попередній захист роботи	10.12.2023 р.	

Дата видачі завдання
« 6 » вересня 2023 р.

Підпис керівника

(прізвище та ініціали)Завдання прийнято до виконання
« 6 » вересня 2023 р.

Підпис здобувача

(прізвище та ініціали)

АНОТАЦІЯ

Мікіньов В.І. Дослідження та програмна реалізація системи стиснення растрових зображень без втрати якості. 122 Комп'ютерні науки. Центральноукраїнський національний технічний університет. Кропивницький. 2023.

В даній випускній кваліфікаційній роботі за другим (магістерським) рівнем вищої освіти розроблено програмне забезпечення, яке призначено для системи стиснення растрових зображень без втрати якості.

Метою розробки є дослідження та програмна реалізація системи стиснення растрових зображень без втрати якості.

Об'єктом дослідження є процес стиснення растрових зображень без втрати якості.

Предметом дослідження є методи стиснення растрових зображень без втрати якості.

Методи дослідження базуються на методах комп'ютерної графіки, методах математичної статистики, методах розробки програмного забезпечення.

Результат роботи – програмна реалізація системи стиснення растрових зображень без втрати якості.

В процесі роботи над програмною моделлю виконано аналіз існуючих апаратних та програмних засобів. В повній мірі описані всі компоненти розробленого програмного забезпечення.

Розроблено зручний інтерфейс користувача. Наведені інструкції по роботі з програмними засобами.

Програма може використовуватися на ПЕОМ архітектури IBM PC з ОС Windows 10/11.

Програму розроблено в середовищі Delphi 10.4.

Ключові слова: комп'ютерні науки, стиснення растрових зображень

ABSTRACT

Mikinov V.I. Research and software implementation of a raster image compression system without quality loss. 122 Computer Science. Central Ukrainian National Technical University. Kropyvnytskyi. 2023.

In this graduation thesis for the second (master's) level of higher education, software is developed, which is intended for the system of compression of raster images without loss of quality.

The goal of the development is the research and software implementation of a system of compression of raster images without loss of quality.

The object of research is the process of compression of raster images without loss of quality.

The subject of research is the methods of compression of bitmap images without loss of quality.

Research methods are based on computer graphics methods, mathematical statistics methods, and software development methods.

The result of the work is the software implementation of the raster image compression system without loss of quality.

In the process of working on the software model, an analysis of existing hardware and software was performed. All components of the developed software are fully described.

A convenient user interface has been developed. Instructions for working with software tools are provided.

The program can be used on PCs of IBM PC architecture with Windows 10/11 OS.

The program was developed in the Delphi 10.4 environment.

Keywords: computer science, compression of bitmap images

ЗМІСТ

ПЕРЕЛІК УМОВНИХ ПОЗНАЧЕНЬ, СИМВОЛІВ, ОДИНИЦЬ І ТЕРМІНІВ	3
ВСТУП.....	4
1 ПРИЗНАЧЕННЯ ТА ОБЛАСТЬ ВИКОРИСТАННЯ	6
1.1 Призначення системи.....	6
1.2 Область застосування.....	7
2 ПЕРЕГЛЯД АНАЛОГІЧНИХ ІСНУЮЧИХ СИСТЕМ	10
2.1 Огляд існуючих систем, технологій, архітектур та програмних рішень за профілем теми випускної кваліфікаційної роботи за другим (магістерським) рівнем вищої освіти.....	10
2.2 Обґрунтування вибору засобів для побудови системи та мови програмування.....	17
2.3 Розгорнута постановка завдання	22
3 ОПИС І ОБҐРУНТУВАННЯ ПРОЕКТНИХ РІШЕНЬ	24
3.1 Опис функціонування системи	24
3.2 Розробка структурної схеми.....	33
3.3 Розробка функціональної схеми	45
3.4 Розробка діаграми процесів.....	51
4 РЕАЛІЗАЦІЯ РОБОТИ. РОЗРАХУНКИ І ЕКСПЕРИМЕНТАЛЬНІ ДАНІ, ЩО ПІДТВЕРДЖУЮТЬ ВІРНІСТЬ ПРОЕКТНИХ ТА ПРОГРАМНИХ РІШЕНЬ.....	52
4.1 Розробка блок-схем та опис алгоритмів функціонування системи.....	52
4.2 Захист розробленого програмного забезпечення.....	59
5 ВПРОВАДЖЕННЯ СИСТЕМИ В ПРОМИСЛОВУ ЕКСПЛУАТАЦІЮ	61
6 НАУКОВА НОВИЗНА	63

						ВКРМ-122.23.0064.00.00.ПЗ		
Вим	Арк.	№ докум.	Підп.	Дата				
Розроб.	Мікіньов В.І.				Дослідження та програмна реалізація системи стиснення растрових зображень без втрати якості	Літ.	Аркуш	Аркушів
Перев.	Буравченко К.О.					М	1	103
Н.контр.	Коваленко А.С.				ЦНТУ КН-22М-2			
Затв.	Смірнов О.А.							

7 ЕКОНОМІЧНА ЕФЕКТИВНІСТЬ РОЗРОБЛЕНОЇ ПРОГРАМИ.....	64
7.1 Техніко економічне обґрунтування теми випускної кваліфікаційної роботи за другим (магістерським) рівнем вищої освіти.....	64
7.2 Розрахунок трудомісткості розробки програмної продукції.....	66
7.3 Визначення чисельності виконавців і планового фонду зарплати.....	68
7.4 Розрахунок капітальних вкладень та амортизаційних відрахувань у розробника.....	73
7.5 Визначення собівартості розробки та ціни програмної продукції.....	77
7.6 Визначення об'єму капітальних вкладень та експлуатаційних витрат у споживача програмної продукції.....	80
7.7 Визначення експлуатаційних витрат.....	80
7.8 Визначення економічної ефективності програмної продукції.....	82
7.9 Висновок.....	84
8 ЗАХОДИ З ОХОРОНИ ПРАЦІ ТА ТЕХНІКИ БЕЗПЕКИ	85
8.1 Вступ.....	85
8.2 Шкідливі і небезпечні фактори при роботі з комп'ютером.....	86
8.3 Аналіз умов праці на робочому місці фахівця	87
8.4 Розробка заходів з умов поліпшення охорони праці.....	90
8.5 Розрахункова частина	91
9 ОСНОВНІ ВИСНОВКИ.....	95
СПИСОК ВИКОРИСТАНИХ ДЖЕРЕЛ	97

ПЕРЕЛІК УМОВНИХ ПОЗНАЧЕНЬ, СИМВОЛІВ, ОДИНИЦЬ І ТЕРМІНІВ

ГА	–	генетичний алгоритм
ДПФ	–	дискретне перетворення Фур'є
УБК	–	метод усіченого блокового кодування

КБПЗ-2023

					ВКРМ-122.23.0064.00.00.ПЗ	Арк.
Вим.	Арк.	№ докум.	Підпис	Дата		3

ВСТУП

Актуальність теми. Завдання зберігання й передачі інформації в компактному виді завжди були актуальні в інформатиці. І якщо щодо текстової інформації розроблені досить ефективні методи стиску даних, то розробки якісної компресії статичних зображень і динамічної відеоінформації тільки набирають оберти. На сьогоднішній день існують і широко застосовуються стандартні методи стиску. Однак потреба в зберіганні все більших обсягів інформації й бажання передачі її по каналах зв'язку з максимальною швидкістю обумовили інтерес до дослідження й розробки більше розвинутих методів. Розвиток теорії фракталів і відповідного математичного апарата наприкінці ХХ в. спричинило розробку принципово нового алгоритму стиску зображень – фрактального. Даний алгоритм стиску потенційно здатний забезпечити найкраще співвідношення ступеня стиску і якості відновленого зображення.

Фрактал – це нескінченно самоподібна геометрична фігура, кожний фрагмент якої повторюється при зменшенні масштабу. Масштабна інваріантність, спостережувана у фракталах, може бути або точною, або наближеною. У більше широкому змісті під фракталами розуміють множини точок в евклідовому просторі, що мають дробову метричну розмірність (у змісті Мінковського або Хаусдорфа), або метричну розмірність, строго більшу топологічної. Термін «фрактал» був уведений Бенуа Мандельбротом в 1975 році й одержав широку популярність із виходом в 1977 році його книги «Фрактальна геометрія природи».

Мета й завдання дослідження. Метою роботи є дослідження та програмна реалізація системи стиснення растрових зображень без втрати якості.

Для досягнення поставленої мети визначена програма дослідження, що складається з наступних завдань:

- Огляд існуючих систем стиснення растрових зображень без втрати якості.
- Дослідження системи стиснення растрових зображень без втрати якості.

					ВКРМ-122.23.0064.00.00.ПЗ	Арк.
Вим.	Арк.	№ докум.	Підпис	Дата		4

– Програмна реалізація системи стиснення растрових зображень без втрати якості.

Об'єктом дослідження є процес стиснення растрових зображень без втрати якості.

Предметом дослідження є методи стиснення растрових зображень без втрати якості.

Методи дослідження базуються на методах комп'ютерної графіки, методах математичної статистики, методах розробки програмного забезпечення.

Наукова новизна отриманих результатів. У процесі рішення завдань, обумовлених цілями дослідження, отримані наступні результати:

- Удосконалено метод стиснення растрових зображень без втрати якості.
- Розроблено вітчизняний продукт стиснення растрових зображень без втрати якості, який має більш широкі можливості, на відміну від існуючих аналогів.

Практична цінність отриманих результатів полягає в тому, що розроблені алгоритми дозволяють успішно вирішувати задачі стиснення растрових зображень без втрати якості.

Достовірність наукових результатів підтверджена теоретичними викладеннями, даними комп'ютерного моделювання, коректними дослідженнями параметрів на функціонуючій обчислювальній мережі, а також відповідністю отриманих результатів окремим результатам, наведеним у науковій літературі.

Робота апробована на LVII Науково-технічній конференції здобувачів вищої освіти «Наука – виробництву», 2023, основні положення випускної кваліфікаційної роботи за другим (магістерським) рівнем вищої освіти надруковані у статті збірника праць молодих науковців ЦНТУ, випуск №14.

Таким чином, виходячи з вищеперерахованого, дослідження та програмна реалізація системи стиснення растрових зображень без втрати якості, є актуальною задачею, яка потребує вирішення у даній випускній кваліфікаційній роботі за другим (магістерським) рівнем вищої освіти.

					ВКРМ-122.23.0064.00.00.ПЗ	Арк.
Вим.	Арк.	№ докум.	Підпис	Дата		5

1 ПРИЗНАЧЕННЯ ТА ОБЛАСТЬ ВИКОРИСТАННЯ

1.1 Призначення системи

Алгоритм фрактального стиску зображення відносять до алгоритмів архівування із частковою втратою інформації. Основа методу фрактального кодування – це виявлення самоподібних ділянок у зображенні. Ідея компресії зображення заснована на застосуванні систем ітеруємих функцій (Iterated Function System або IFS). Уперше можливість застосування теорії IFS до проблеми стиску зображення була досліджена Майклом Барнслі. Джеквін представив метод фрактального кодування, у якому використовуються системи доменних і рангових блоків зображення (domain and range subimage blocks), блоків квадратної форми, що покривають все зображення. Цей підхід став основою для більшості методів фрактального кодування. Відповідно до методу зображення повинне бути розбите на множини таких, які не перекриваються, рангових підзображень, також визначається множини таких, які перекриваються, доменних підзображень. Для кожного рангового блоку алгоритм кодування знаходить найбільш підходящий доменний блок і афінне перетворення, що переводить цей доменний блок у даний ранговий блок. Структура зображення відображається в систему рангових блоків, доменних блоків і перетворень. Ідея полягає в наступному: припустимо, що вихідне зображення є нерухливою точкою якогось стискаючого відображення. Тоді можна замість самого зображення запам'ятати яким-небудь образом це відображення, а для відновлення досить багаторазово застосувати це відображення до будь-якого стартового зображення. По теоремі Банаха, такі ітерації завжди приводять до нерухливої точки, тобто до вихідного зображення.

					ВКРМ-122.23.0064.00.00.ПЗ	Арк.
Вим.	Арк.	№ докум.	Підпис	Дата		6

1.2 Область застосування

Запропонований Барнслі метод, коротко можна описати в такий спосіб. Зображення кодується декількома простими перетвореннями, тобто визначається коефіцієнтами цих перетворень.

Наприклад, до наочних прикладів фрактальних зображень отриманих за допомогою IFS можна віднести «трикутник Серпинського» і «папороть Барнслі» рис. 1.1.



Рисунок 1.1 – «Трикутник Серпинського» і «папороть Барнслі»

Перший задається трьома, а другий чотирма афінними перетвореннями. Кожне перетворення кодується ліченими байтами, у той час як зображення, побудоване з їхньою допомогою, може займати біля мегабайта. Хоча IFS не використовуються як готові системи стиску зображень, однак вони найчастіше використовуються в різних фрактальних методах стиску.

Фрактальний алгоритм дозволяє стискати зображення в сотні й навіть тисячу разів.

					ВКРМ-122.23.0064.00.00.ПЗ	Арк.
Вим.	Арк.	№ докум.	Підпис	Дата		7

Основна складність фрактального стиску полягає в тому, що для знаходження відповідних доменних блоків, потрібен повний перебір.

Оскільки при цьому переборі щораз повинні рівнятися два масиви, дана операція виходить досить тривалих, потребує значних обчислювальних ресурсів.

Декомпресія або відновлення вихідного зображення досить проста. Для цього необхідно виконати кілька ітерацій тривимірних афінних перетворень, коефіцієнти яких були отримані на етапі компресії. Варто відзначити, що особливість фрактального кодування полягає в тому, що декодування не залежить від дозволу.

Переважає більшість досліджень в області фрактального стиску зараз спрямовані на зменшення часу архівування, необхідного для одержання якісного зображення. На даний момент відома досить велика кількість алгоритмів оптимізації перебору, що виникає при фрактальному стиску. Для збільшення швидкості кодування велася робота із двох напрямків. Перший підхід вирішував завдання класифікації доменів (classification of domains), при якому за рахунок зменшення кількості доменів серед яких ведеться пошук, скорочується кількість обчислень. Другий підхід заснований на методі виділення особливостей (feature extraction), збільшення швидкості кодування відбувається за рахунок порівняння доменних і рангових блоків. Цікаве рішення проблеми тривалого кодування запропонував Д.С. Ватолін у своїй роботі «Використання ДКП для прискорення фрактального стиску зображень». Дискретне косинусне перетворення (ДКП) використовується для розбивки всього множини блоків у зображенні на 256 класів, що дозволяє досягти майже 100-кратного прискорення роботи алгоритму при прийнятних втратах як зображення.

На сьогоднішній день фрактальні методи щонайкраще пристосовані для додатків архівування, таких як цифрові енциклопедії, у яких кодування необхідно лише один раз, а декодування відбувається множина разів.

					ВКРМ-122.23.0064.00.00.ПЗ	Арк.
Вим.	Арк.	№ докум.	Підпис	Дата		8

Фрактальні методи можна розглядати, як альтернативу технологіям, заснованим на перетворенні Фур'є, наприклад, таким як JPEG. Нові технології, такі як фрактальні повинні розглядатися не тільки як конкуренти, але і як союзники у встановленні нових стандартів.

Необхідно подальше вивчення й удосконалювання фрактальних методів, що можливо надалі повною мірою розкриє їхній потенціал.

Таким чином, виходячи з вищеперерахованого, дослідження та програмна реалізація системи стиснення растрових зображень без втрати якості, є актуальною задачею, яка потребує вирішення у даній випускній кваліфікаційній роботі за другим (магістерським) рівнем вищої освіти.

КБГІЗ - 2023

					VKPM-122.23.0064.00.00.ПЗ	Арк.
Вим.	Арк.	№ докум.	Підпис	Дата		9

2 ПЕРЕГЛЯД АНАЛОГІЧНИХ ІСНУЮЧИХ СИСТЕМ

2.1 Огляд існуючих систем, технологій, архітектур, програмних рішень за профілем теми випускної кваліфікаційної роботи за другим (магістерським) рівнем вищої освіти

Графічні файли піддаються багатьом перетворенням: від елементарних, виконуваними навіть починаючими користувачами (зміни розміру, формату, ін.) і до більш складних, що виконуються фахівцями-дизайнерами, програмістами (додавання фільтрів, накладення ефектів). Прості перетворення можна зробити в стандартних програмах для перегляду зображень, тому що в багатьох з них убудовані необхідні для цього функції. Більше складну обробку роблять у конвертерах – програмах для обробки графічних зображень.

Нижче в порядку зростання описані методи пакетної обробки від простих до більш складних, професійних.

Програма Image Tuner

Найбільш проста, не ускладнена налаштуваннями й фільтрами, програма для базової обробки зображень. Перелік її можливостей обмежується зміною відтінків, розмірів, орієнтації зображення, додаванням водяного знака. Програма працює в режимі «одного вікна»: у ліву половину завантажуються файли, що піддаються обробці. У правій вказуються параметри конвертації.

Переваги цієї програми:

- простота використання;
- підтримує такі популярні формати, як JPEG, BMP, PNG, GIF, TIFF, RAW, NEF і інші;
- є функція передперегляду. Спрацьовує при кліку на зображення.

Недоліки:

- надмірна простота фільтрів. Фільтри настільки прості, що не мають налаштувань. Перебувають у розділі меню «Змінити розмір»;
- невелика кількість форматів для збереження готових ескізів: усього 5;

					ВКРМ-122.23.0064.00.00.ПЗ	Арк.
Вим.	Арк.	№ докум.	Підпис	Дата		10

– недоробки в оформленні програми: частина налаштувань на англійському, що залишилася частина переведена на російську.

Таким чином, ця програма призначена для елементарної базової обробки зображень.

Програма IrfanView

Основними функціями цієї програми є перегляд зображень.

Переваги:

- доступність. Програма безкоштовна для завантаження;
- функціональність. Виконує функції перегляду й конвертації. Як конвертор працює через меню «Batch Conversion/Rename...». Підтримує три варіанти режиму: пакетне перейменування, перетворення й змішаний режим;
- компактність (невеликий розмір);
- значна кількість форматів (близько 20);
- тестовий режим, доступний для пакетного перейменування файлів.

Недоліки:

- не всі параметри доступні для повного списку форматів;
- деякі перетворення відбуваються тільки при активації «Use advanced options...», по натисканню кнопки «Advanced». В іншому випадку доступні лише стандартні для переглядача перетворення: зміна розмірів, кадрування, горизонтальне/вертикальне відбиття, водяний знак.

– передперегляд передбачається тільки для вихідного зображення. Якщо, наприклад, розміри ми можемо вказати попільсьельно, то зміна колірних параметрів, яскравості, балансу являє собою проблему, тому що змінюються вони методом уведення цифр. А результати перетворень ми зможемо побачити тільки після закінчення конвертацій і виходу з «Advanced».

Таким чином, якщо вас улаштовують базові перетворення, що не вимагають передперегляду, дана програма задовольнить ваші вимоги. Але внести її в список найбільш зручних конвертерів не можна.

					ВКРМ-122.23.0064.00.00.ПЗ	Арк.
Вим.	Арк.	№ докум.	Підпис	Дата		11

Недоліки:

– базовий набір перетворень. Перелік доступних перетворень: коректування розміру, текстури, перспективи, додавання водяного зображення, добірка рамок;

– відсутність режиму (вікна) передперегляду;

– нераціональне застосування області інтерфейсу. Більша частина робочого простору являє собою область для вибору файлів.

Програма XnConvert

Програма XnConvert є одним з компонентів відомого багатьом користувачам переглядача зображень XnView. Створені на одній базі, програми виконують практично ідентичні дії, але все-таки мають ряд відмінностей, які будуть розглядатися нижче.

XnConvert є програмою-конвертером, призначеною тільки для перетворення зображень, і не містить у собі функцію перегляду. З однієї сторони це є плюсом програми, тому що вона виконує строго свої функції. А з іншої сторони для роботи необхідно задіяти іншу програму-переглядач.

Основні принципи роботи програми максимально прості. Зображення, що піддаються обробці, додаються методом перетаскування або за допомогою кнопок. Далі зі списку вибираються варіанти перетворення. Списки перебувають зверху й відбиваються у вигляді ескізів, що являє собою деякі незручності для користувачів. Справа в тому, що такого роду сортування не дозволяє переглянути інформацію про вихідні файли, тому що це могло бути при сортуванні у вигляді таблиці. Тому сортування є більше умовним, ніж функціональним.

Тепер більш докладно про функції перетворення. Список перетворень перебуває на основній вкладці «Дії» і ділиться на 4 групи:

– зображення: робота, спрямована на трансформацію файлу, або зв'язана із властивостями файлу;

– корекція: обробка колірної гама й рівнів;

– фільтри: размивка зображення, налаштування різкості, зміна фокуса;

					ВКРМ-122.23.0064.00.00.ПЗ	Арк.
Вим.	Арк.	№ докум.	Підпис	Дата		13

кнопку «додати дія». У мінімальній версії, крім стандартних функцій, передбачений ефект розмивання/різкості, усунення червоних очей. Стандартна версія допускає додавання водяного знака. І третій, завершальний, крок – збереження. На цьому етапі вибирається формат збереження, додатково є опція «Перейменування файлу по масці». Завершенням і збереженням є натискання кнопки «Старт».

Хотілося б відзначити в цій програмі більше логічне розміщення функцій перетворення, ніж у розглянутій вище. Але, все таки, є певні недоробки: наприклад, функції корекції рівнів і кадрування ставляться до редагування, а в програмі вони перебувають у групі налаштувань «Автоматичні». Однак згодом при частому використанні програми це не викликає яких-небудь складностей.

Один з мінусів програми – довідка англійською мовою, але подивитися відповіді на питання, що вас цікавлять, можна на сайті.

Програма Adobe Photoshop

Дана програма є однією із затребуваних серед конвертерів. У цю програму убудовані практично всі необхідні інструменти для пакетного перетворення зображень. На даний момент актуальної є версія – CS6, поки ж розглядаємо версію CS5. Обробка файлів виробляється за допомогою екшнів, операції Batch або скрипта Image Processor.

Перший спосіб обробки зображень

Для обробки графічних зображень необхідно створити набір (Set). Для цього краще взяти тестовий зразок. Надалі цей набір буде застосований до всіх обраних файлів. Набір створюється через палітру Actions, шляхом записування необхідних дій. На даному етапі доступні тільки засоби Photoshop. Надалі список можна відкоригувати, додаючи або видаляючи певні дії. Через меню «File – Automate – Batch...» заходимо в групу налаштувань «Play», вибираємо потрібний екшн, указуємо джерело й папку для збереження оброблених файлів. Ця дія приводить до масового застосування набору.

					ВКРМ-122.23.0064.00.00.ПЗ	Арк.
Вим.	Арк.	№ докум.	Підпис	Дата		15

Другий метод обробки зображень

Другий спосіб обробки є більше прийнятним, тому що не вимагає створення екшна. Метод ґрунтується на використанні скрипта Image Processor. Зміна формату або розміру зображення відбувається через меню «File – Scripts – Image Processor...»... Інші налаштування можна зробити першим способом.

Зберігаються оброблені зображення у форматах JPEG, PSD і TIFF.

Програма Adobe Lightroom

Робота програми Adobe Lightroom заснована на масовому перетворенні експортованих зображень або за допомогою модуля «Library». Для роботи із зображеннями використовуються наступні налаштування, розмічені в меню «File – Export...»:

– Export To-вибір експорту зображення. Як варіанти: жорсткий диск, e-mail або запис CD або DVD. Також модуль Library дозволяє експортувати зображення в Інтернет: Facebook, Flickr, Adobe Revel і SmugMug;

– Export Location – папка для збереження зображень;

– File naming – вибір ім'я файлів по масці. У програмі є великий перелік змінних. Так само змінні можуть бути взяті з метаданих зображення;

– File Settings – тут вибирається формат збереження зображень. Можна залишити вихідний формат або вибрати один з наступних: JPEG, PSD, TIFF, DNG

– Image Sizing – вказуються розміри й дозвіл збереженого зображення;

– Output Sharpening – визначення різкості зображення;

– Metadata – запит по збереженню метаданих файлу;

– Watermarking – опція накладення водяного знака.

Якщо вас не влаштовують стандартні передумовки, надані в лівій бічній панелі («Preset»), ви маєте можливість додати власні.

					ВКРМ-122.23.0064.00.00.ПЗ	Арк.
Вим.	Арк.	№ докум.	Підпис	Дата		16

2.2 Обґрунтування вибору засобів для побудови системи та мови програмування

Embarcadero Delphi, раніше Borland Delphi і Codegear Delphi, – інтегроване середовище розробки ПЗ для Microsoft Windows, Mac OS, iOS і Android мовою Delphi (що раніше носила назву Object Pascal), створена спочатку фірмою Borland і на даний момент приналежна й розроблювальна Embarcadero Technologies. Embarcadero Delphi є частиною пакета Embarcadero RAD Studio і поставляється в чотирьох редакціях: Community (поширюється безкоштовно й має обмежену ліцензію на використання в комерційних цілях), Professional, Enterprise і Architect.

Delphi 10.4 Sydney

Випущено 26 травня 2020 року. RAD Studio Delphi 10.4 забезпечує значно поліпшену високопродуктивну нативну підтримку Windows, кращу продуктивність розробки, миттєві підказки code completion, прискорення виконання коду із синтаксисом керованих записів, поліпшення виконання паралельних завдань на сучасних багатоядерних CPU, а також містить більш 1000 виправлень багів, поліпшення продуктивності середовища й бібліотек і багато чого крім того.

Основні можливості Delphi 10.4.1:

– Істотні розширення для Windows: поліпшення для застосунків на моніторах 4K High DPI, інтеграція з новим WebView2 на базі Chromium, використання розширених title bars, таких же, як в Office, Explorer, Google Chrome.

– Керування пам'яттю в Delphi тепер стандартизоване на всіх підтримуваних платформах – мобільних, настільних і серверних – використовувачи класичну реалізацію керування пам'яттю об'єктів.

– Істотне поліпшення Delphi Code Insight (без можливого блокування IDE – в окремому процесі), що допоможе при роботі з великими проектами.

					ВКРМ-122.23.0064.00.00.ПЗ	Арк.
Вим.	Арк.	№ докум.	Підпис	Дата		17

– Тип даних Delphi «record» тепер підтримуть довільні ініціалізацію, фіналізацію й операції копіювання.

– Розширена підтримка бібліотек C++: ZeroMQ, SDL2, SOCI, libSIMDpp і Nematode.

– Відладник Win 64 (на LLDB) і збирач для C++.

– Поліпшення для C++: Включена велика кількість поліпшень STL з Dinkumware.

– Підтримка Metal Driver GPU для macOS і iOS.

– Вбудований Fmxlinux.

– Компонент Twebbrowser для iOS тепер реалізований на Wkwebview API.

Реалізація компонента Media Player для macOS тепер використовує Avfoundation.

Реалізований заново стилізуємий FMX компонент TМемо на платформі Windows значно поліпшений і тепер має відмінну підтримку ІМЕ.

– Численні поліпшення швидкості й стабільності роботи нашої бібліотеки The Parallel Programming Library (PPL).

– Додані оновлені драйвери для FireBird, PostgreSQL і SQLite.

– Клієнтські бібліотеки HTTP і REST Client розширені застосунковими можливостями роботи з HTTPS. Також були розширені можливості підтримки Amazon AWS services

– У технологію Visual LiveBindings внесена безліч поліпшень, у тому числі швидкодії, що стосуються, застосунків на VCL і FireMonkey

RAD Studio 10.4 Короткий огляд:

– Істотні розширення для Windows. Створення застосунків, що чудово виглядають, із чіткими елементами інтерфейсу на 4k моніторах High DPI за допомогою нової гнучкої підтримки стилів елементів керування на екрані. Інтеграція із сучасними, безпечними web-технологіями від Microsoft – новим WebView2 на базі Chromium. Використання сучасних розширених title bars, таких же, як в Office, Explorer, Google Chrome, у своїх проектах. Істотні поліпшення надійності налагодження в новому відладнику для C++ Windows 64-bit.

					ВКРМ-122.23.0064.00.00.ПЗ	Арк.
Вим.	Арк.	№ докум.	Підпис	Дата		18

Поліпшена кроссплатформеність

- Додана підтримка Metal Driver GPU для macOS і iOS.
- Крім підтримки останнього iOS SDK, в RAD Studio 10.4 розроблювачі можуть задовольнити нові вимоги Apple до набору стартових екранів.
- Реалізований заново стилізуємий FMX компонент TМемо на платформі Windows значно поліпшений і тепер має відмінну підтримку ІМЕ.
- Користувачам редакцій Enterprise або Architect доступна повна інтеграція Fmxlinux з IDE для створення клієнтських застосунків Linux з GUI.
- Компонент Twebbrowser для iOS тепер реалізований на Wkwebview API.
- Реалізація компонента Media Player для macOS тепер використовує Avfoundation.

Оновлений менеджер пакетів Getit

Менеджер пакетів Getit в IDE був значно вдосконалений.

Дати випуску релізів пакетів тепер видні, і можливе сортування списку по цих датах; відбір тільки встановлених пакетів, контенту, доступного тільки при наявності підписки, багато чого іншого.

Універсальний інсталятор для установки Online і Offline

В 10.4 включений новий універсальний інсталятор, який використовує технологію на базі Getit. Цей інсталятор підтримує як online, так і offline (з ISO) варіанти установки.

Тепер обоє варіанта установки дозволяють вам указати початковий набір можливостей RAD Studio для установки, наприклад, свою комбінацію мов програмування й цільових платформ, мов інтерфейсу, і додавати до нього або видаляти непотрібне в будь-який момент.

2.3 Розгорнута постановка завдання

Згідно з технічним завданням на випуск кваліфікаційну роботу за другим (магістерським) рівнем вищої освіти, реалізації підлягає програмне

					ВКРМ-122.23.0064.00.00.ПЗ	Арк.
Вим.	Арк.	№ докум.	Підпис	Дата		22

забезпечення, яке призначено для системи стиснення растрових зображень без втрати якості.

В процесі розробки випускної кваліфікаційної роботи за другим (магістерським) рівнем вищої освіти необхідно виконати наступний обсяг роботи:

а) провести аналіз існуючих систем-аналогів для виявлення їх позитивних і негативних якостей. Результати аналізу врахувати в подальших розробках;

б) вибрати та обґрунтувати методику побудови системи контролю роботи технологічного обладнання на виробництві в автоматизованому режимі. Розробити функціональну та структурну схеми системи;

в) розробити програмне забезпечення системи, що дозволить реалізувати поставлену технічним завданням задачу. Побудувати блок-схеми алгоритмів програми та підпрограми;

г) організувати інтерфейс користувача з метою формування та виводу на екран ЕОМ повідомлень про некоректні дії користувача та нестандартні ситуації в роботі технологічного обладнання;

д) розробити рекомендації по організаційних та методичних заходах, які забезпечать впровадження системи в промислову експлуатацію та її подальшу успішну експлуатацію;

е) провести розрахунки по визначенню економічної ефективності розробленої системи;

ж) розробити заходи по охороні праці при впровадженні та експлуатації системи, а також розробити заходи з цивільного захисту;

з) сформулювати висновки про виконаний обсяг робіт та одержані результати.

					ВКРМ-122.23.0064.00.00.ПЗ	Арк.
Вим.	Арк.	№ докум.	Підпис	Дата		23

3 ОПИС І ОБҐРУНТУВАННЯ ПРОЕКТНИХ РІШЕНЬ

3.1 Опис функціонування системи

Ідея фрактального стиску ґрунтується саме на властивості самоподоби. Але існують дві проблеми:

- по-перше, ніщо не гарантує наявності властивості самоподоби в довільного зображення;
- по-друге, якщо навіть об'єкт $i \in$ фрактальним, як виділити ту область (або області), на основі яких будується зображення.

Отже, необхідний якийсь теоретичний базис, що дозволяє вирішувати ці проблеми. Такий базис існує й наведений нижче.

Чорно-білі зображення

Метричні простори

Метрикою d у просторі X називається функція двох аргументів $d(x,y)$ така, що:

$$1) d(x,y) = d(y,x)$$

$$2) d(x,x) = 0$$

$$3) d(x,y) \leq d(x,z) + d(y,z)$$

$$4) 0 < d(x,y) < +\infty$$

Тоді (X,d) – метричний простір. Послідовність точок:

$$\{x_n\} \subset X$$

називається збіжної до точки x , якщо:

$$\forall \varepsilon > 0 \exists N > 0 : \forall n \geq N \Rightarrow d(x_n, x) < \varepsilon$$

Метричний простір, де кожна послідовність Коші сходиться до точки цього простору, називається повним метричним простором.

Точка x називається граничною точкою множини X , якщо існує послідовність точок з X , що сходиться до точки x .

					ВКРМ-122.23.0064.00.00.ПЗ	Арк.
Вим.	Арк.	№ докум.	Підпис	Дата		24

Кодування зображень

Для одержання коефіцієнтів потрібного афінного перетворення (у найпростіших випадках) досить вирішити 2 системи їх 3-х рівнянь із 3-ма невідомими. Як приклад розглянемо побудову Трикутника Серпинського. Це зображення описується 3-ма перетвореннями :

- 1-е переводить точки $\{1,2,3\}$ у точки $\{1,4,6\}$;
- 2-е : $\{1,2,3\}$ – в $\{4,2,5\}$;
- 3-е : $\{1,2,3\}$ – в $\{6,5,3\}$.

Унизу праворуч показане зображення трикутника Серпинського, отримане за допомогою імовірнісного алгоритму й перетворень знайдених зазначеним вище способом.

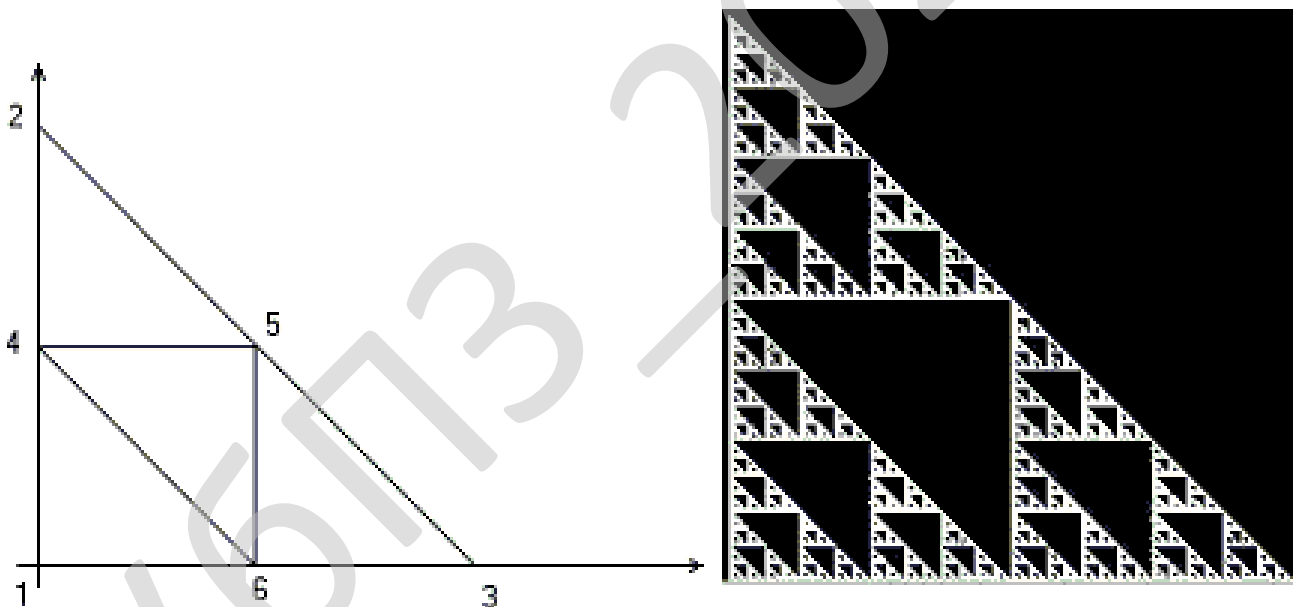


Рисунок 3.1 – Трикутник Серпинського

Декодування зображень

Детерміністичний алгоритм

Детерміністичний алгоритм для побудови зображення, що є аттрактором IFS, прямо застосовує теорему про стискаюче відображення до будь-якого

					ВКРМ-122.23.0064.00.00.ПЗ	Арк.
Вим.	Арк.	№ докум.	Підпис	Дата		27

початкового зображення B з $H(X)$. Алгоритм будує послідовність зображень A_n , багаторазово застосовуючи IFS відображення $W = \{w_1, \dots, w_N\}$... Якщо ми покладемо $A_0=B$, то процес може бути записаний у вигляді $A_n = W(A_{n-1})$. По теоремі про стискаюче відображення, A_n сходиться до аттрактору даного IFS. Нижче наведений приклад роботи детерміністичного алгоритму – перші кілька ітерацій і кінцеве зображення, близьке до аттрактору.

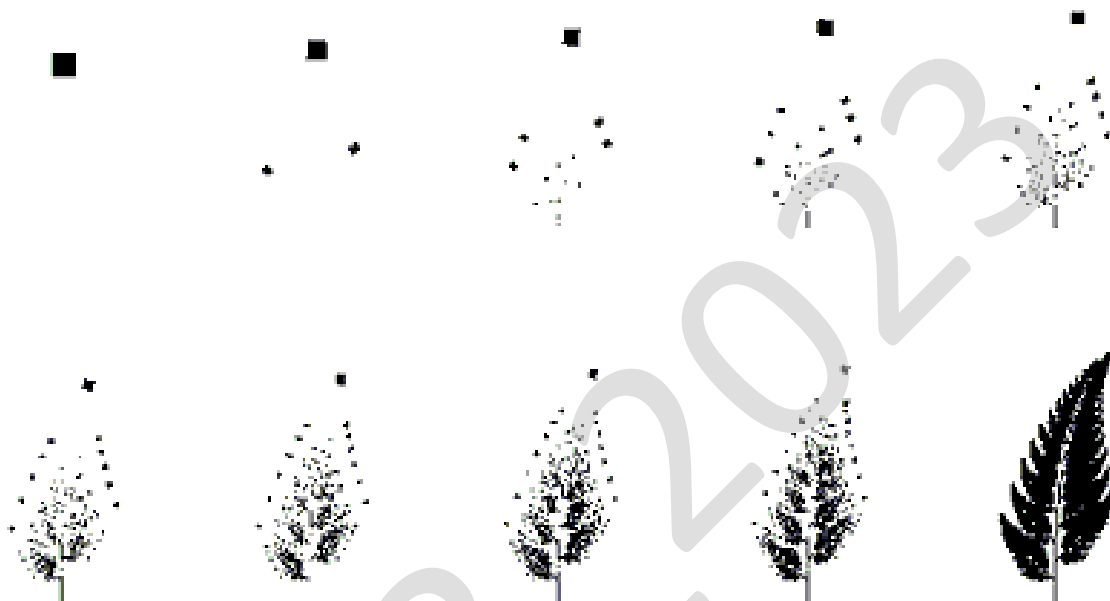


Рисунок 3.2 – Приклад роботи детерміністичного алгоритму

Імовірнісний алгоритм

У той час як детерміністичний алгоритм є прямим застосуванням теореми про стискаючі відображення, що дозволяє спостерігати, як він діє на практиці, цей алгоритм виявляється занадто повільним і звичайно не використовується на практиці для побудови зображень – аттракторів.

Більше кращим є використання імовірнісного алгоритму: Імовірнісний алгоритм зв'язує з кожним перетворенням w_i з IFS імовірність p_i . Ці ймовірності визначають, наскільки щільно кожна частина зображення – аттрактора покрита точками. Імовірності перетворень можна обчислювати як відношення модуля

визначника основної матриці перетворення до суми модулів визначників основних матриць всіх перетворень із IFS:

$$w_i(x) = w_i \begin{bmatrix} x_1 \\ x_2 \end{bmatrix} = \begin{bmatrix} a_i & b_i \\ c_i & d_i \end{bmatrix} \begin{bmatrix} x_1 \\ x_2 \end{bmatrix} + \begin{bmatrix} e_i \\ f_i \end{bmatrix} = T_i x + t_i,$$

$$p_i = \frac{|\det T_i|}{\sum_{j=1}^N |\det T_j|}.$$

Алгоритм побудови зображення:

```

For n = 1 to number_of_number_of_in_image do
  (x, y) = random(B)
  For I=1 to number_of_iterations do
    p = random(0,1)
    (x, y) = Wk(x, y) //де ймовірність p відповідає перетворенню Wk
  end
end
end

```

Нижче наведений приклад роботи імовірнісного алгоритму.



Рисунок 3.3 – Приклад роботи імовірнісного алгоритму

Можна помітити, що для імовірнісного алгоритму існують особливі точки – чорні зображення. Якщо робота імовірнісного алгоритму починається з них, то аттрактор не буде отриманий ніколи. Звідси впливає наступне твердження: якщо в початковому зображенні присутня хоча б одна чорна точка,

то існує відмінна від нуля ймовірність того, що в результаті роботи імовірнісного алгоритму вийде чисто чорне зображення, причому ця ймовірність тим більше, чим більше кількість чорних точок у зображенні.

Дійсно, нехай зображення має розміри $n \times m$. Тоді загальне число точок у ньому $N = n \times m$. Нехай число чорних точок дорівнює b , нехай число точок, використуваних для побудови зображення дорівнює M . Імовірність того, що випадково обрана точка виявиться чорної, дорівнює b/N .

Імовірність того, що всі обрані точки виявляться чорними, дорівнює:

$$\left(\frac{b}{N}\right)^M.$$

Таким чином, для того, щоб алгоритм спрацював коректно з імовірністю більшою, ніж $1-e$, де $e \in (0, 1)$, потрібне виконання нерівності:

$$\log_{b/N} e \in M.$$

Розглянемо приклад. Нехай $e = 0,01$. Тоді для коректної роботи імовірнісного алгоритму при початковому зображенні розміру 300×300 з єдиною білою точкою потрібно

$$M > \log_{89999/90000} 0.01 > 414463.$$

Цікаво, що, хоча імовірнісний алгоритм широко використовується в різних наукових працях, ніхто з авторів жодного разу не звернув уваги на даний факт.

Зображення в градаціях сірого

Метричний простір

Зображення в градаціях сірого можна розглядати як речовинні функції $f(x,y)$, визначені на одиничному квадраті:

$$I^2 = I \times I.$$

На цих функціях можна ввести метрику в такий спосіб:

$$d_2(f, g) = \left(\iint_{I^2} |f(x, y) - g(x, y)|^2 dx dy \right)^{1/2}$$

- Кодер.
- Блок запису у файл стисненого зображення.
- Блок зберігання стисненого зображення.
- Блок читання з файлу.
- Декодер.
- Блок декомпресії за допомогою фракталів.
- Вихідне зображення.

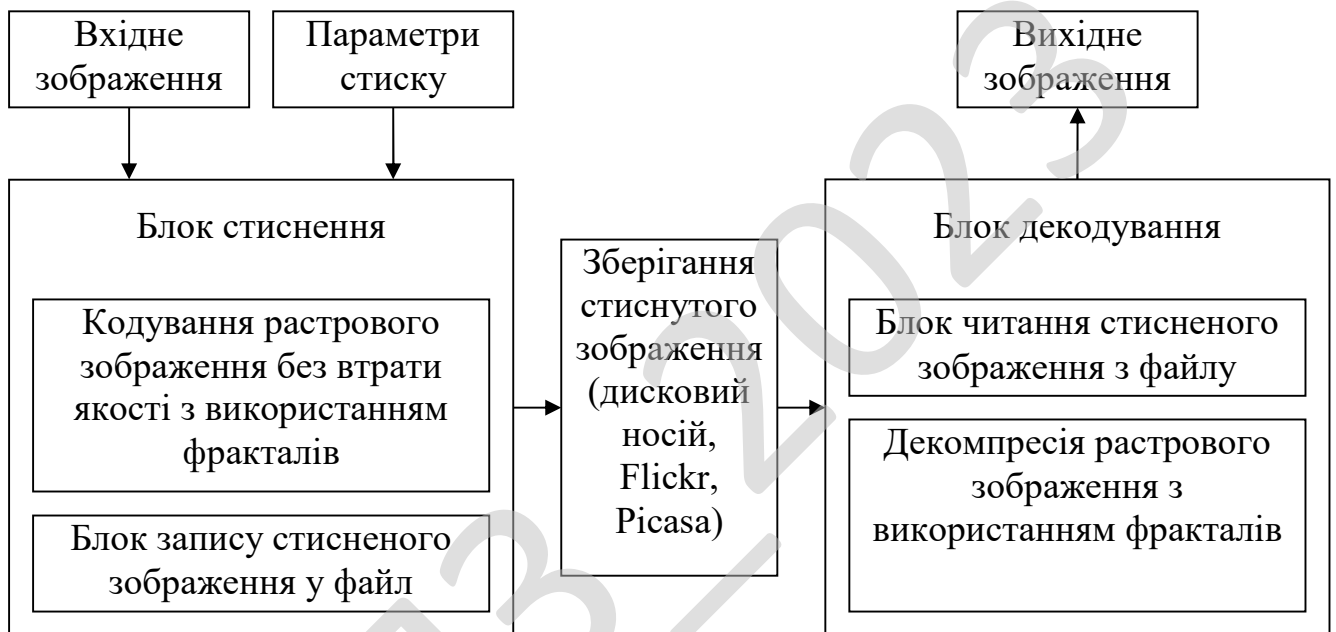


Рисунок 3.4 – Структурна схема системи

Перед тим, як перейти до докладного опису алгоритмів фрактального кодування, коротко перелічимо особливості фрактального кодування:

- У технології фрактального кодування закладений великий потенціал, але вона не стандартизована.
- Відноситься до методу стиску із втратами (дані не відновлюються у вихідному виді).
- При стиску використовуються системи ітеруємих функцій.
- Компресія даних повільна, декодування – швидке.

Цифрові зображення являють собою матрицю фіксованих значень функції $f(x,y)$, узятих у фіксованих точках $f(x_i,y_j)$. Наведене співвідношення (3.3) називається середньоквадратичним відхиленням (root mean square). Цей показник (крім стиску зображень) може використовуватися як міра мінливості значень ознак, ступеня відхилення бажаних показників від спостережуваних. Він буде використовуватися в тому числі й для оцінки ефективності кодування зображень.

У фрактальному кодуванні використовується система ітеруємих функцій, більше загального виду. Вона називається кусочно-визначена система ітеруємих функцій (PIFS). Цей тип системи ітеруємих функцій складається з повного метричного простору X , набору підобластей і набору стискаючих відображень.

Ми також можемо визначити афінні перетворення, які переводять у себе одиничний квадрат $I^2 \rightarrow I^2$ у такий спосіб:

$$\bar{w}_i(x, y) = A_i \begin{pmatrix} x \\ y \end{pmatrix} + b_i. \quad (3.4)$$

Тут A_i – матриці перетворень розміром 2×2 , а b_i – вектора зрушення (словом, тут звичайне афінне перетворення). А тепер можна записати відображення $w_i: F \rightarrow F$ у загальному виді.

$$\bar{w}_i(f)(x, y) = s_i f(\bar{w}_i^{-1}(x, y)) + o_i, \quad (3.5)$$

за умови, що перетворення \bar{w}_i оборотне й $(x, y) \in R_i$. Константа s_i розширює (або звужує) діапазон значень функції f , тобто управляє контрастністю (для зображень у градаціях сірого). Величина o_i відповідає за зміну яскравості зображення. Перетворення \bar{w}_i називається просторовою складовою перетворення w_i . Задане співвідношення (3.5) є базовим для зображень у градаціях сірого, ми його будемо використовувати при стиску.

У випадку використання кусочно-визначеної системи ітеруємих функцій фіксована точка (або аттрактор) є зображенням f , для якої виконується $W(f)=f$. Теорема про стискаючі відображення говорить, що W у результаті буде

Доменні можуть перекриватися, а можуть розміщатися на деякій відстані друг від друга. Доменне зображення темніше, ніж вихідне, оскільки яскравість при перетвореннях змінюється. Афінне перетворення записується в такий спосіб (для зображень у градаціях сірого):

$$\begin{bmatrix} x' \\ y' \\ z' \end{bmatrix} = w_i \begin{bmatrix} x \\ y \\ z \end{bmatrix} = \begin{bmatrix} a_i & b_i & 0 \\ c_i & d_i & 0 \\ 0 & 0 & s_i \end{bmatrix} \begin{bmatrix} x \\ y \\ z \end{bmatrix} + \begin{bmatrix} e_i \\ f_i \\ o_i \end{bmatrix} \quad (3.8)$$

Величина s_i означає яскравість пікселя й діє подібно кнопці настроювання контрасту. Коли цей параметр дорівнює 0, те пікселі домену перетворюються в чорний колір, якщо параметр дорівнює 1, то домен залишається таким же, якщо параметр установлений у межах від 0 до 1 (найчастіше беруть 0.75), чим значення більше, тим більше контраст області. Параметр o_i відповідає за світність пікселя і його зміна аналогічно зміні настроюванню яскравості. Позитивні значення роблять блок пікселів більше світлим, негативні значення – більше темним. Коли істи можливість контролювати показники контрасту і яскравості, то можна здійснити розширене афінне перетворення, що відображає доменні блоки в рангові блоки.

Матрична частина перетворення відповідає за поворот і зміну яскравості зображення (коефіцієнти a_i, b_i, c_i, d_i і s_i), а вектор $[e_i, f_i, o_i]$ за зрушення й зміну контрасту.

Зміна яскравості доменного зображення відбувається в такий спосіб: після його одержання яскравість всіх пікселів множиться на деяку величину, розповсюджене значення – 0.75.

3. Для кожного рангового блоку знаходимо домен і відповідне перетворення, що щонайкраще перекриває ранговий блок. Настроюються параметри перетворення – яскравість і контраст, що забезпечує найкращу відповідність.

При використанні даного підходу до кодування розмір доменних блоків завжди вдвічі більше, ніж розмір регіонів. Якщо ранговий блок має розмір 8×8 , то домен завжди 16×16 .

У результаті кодування у файл записується код зображення:

1. Кількість регіонів по горизонталі й вертикалі.
2. Розмір регіону.
3. Коефіцієнти афінних перетворень:
 - Координати домену.
 - Номер афінного перетворення.
 - Різницю усередненої яскравості між регіоном і доменом.

У файл, таким чином, зберігаються тільки числові коефіцієнти, а не саме зображення. Чисел досить для розпакування (виконання зворотних перетворень, при декодуванні 2 і 4 перетворення міняються місцями).

Одним із ключових параметрів є зсув доменів (домени можуть перекриватися, а можуть розташовуватися друг від друга на деякій відстані). Процес фрактального стиску полягає в пошуку самоподібних областей зображення. У цьому випадку послідовно перебираються всі регіони, і для кожного регіону підбирається найбільш схожий на нього доменний блок. Таким чином, застосовується сукупність перетворень: порівняння блоків по пікселям і афінні перетворення. Найпоширеніші наступні:

1. Поворот на 0 градусів.
2. Поворот на 90 градусів.
3. Поворот на 180 градусів.
4. Поворот на 270 градусів.
5. Симетрія щодо осі X .
6. Симетрія щодо осі Y .
7. Симетрія щодо головної діагоналі.
8. Симетрія щодо побічної діагоналі.

JPEG – це зображення з досить дрібним регулярним рисунком (піджак у дрібну клітку). Характер внесених алгоритмом JPEG перекручувань такий, що зменшення або збільшення зображення може дати неприємні ефекти.

6. Можливість показати огрублене зображення (низького розрішення), використавши тільки початок файлу. Дана можливість актуальна для різного роду мережних додатків, де перекачування зображень може зайняти досить великий час, і бажано, одержавши початок файлу, коректно показати preview. Помітимо, що примітивна реалізація зазначеної вимоги шляхом записування в початок зображення його зменшеної копії помітно погіршить ступінь компресії.

7. Стійкість до помилок. Дана вимога означає локальність порушень у зображенні при псуванні або втраті фрагмента переданого файлу. Дана можливість використовується при ширококомовленні зображень по мережі, тобто в тих випадках, коли неможливо використовувати протокол передачі, повторно запитуючи дані в сервера при помилках. Наприклад, якщо передається відеоряд, то було б неправильно використовувати алгоритм, у якого збій приводив би до припинення правильного показу всіх наступних кадрів. Дана вимога суперечить високому ступеню архівування, оскільки інтуїтивно зрозуміло, що ми повинні вводити в потік надлишкову інформацію. Однак для різних алгоритмів обсяг цієї надлишкової інформації може істотно відрізнятись.

8. Облік специфіки зображення. Більше високий ступінь архівування для класу зображень, які статистично частіше будуть застосовуватися в нашому додатку. У попередніх розділах ця вимога вже обговорювалася.

9. Редактуємість. Під редактуємістю розуміється мінімальний ступінь погіршення якості зображення при його повторному збереженні після редагування. Багато алгоритмів із втратою інформації можуть істотно зіпсувати зображення за кілька ітерацій редагування.

10. Невелика вартість апаратної реалізації. Ефективність програмної реалізації. Дані вимоги до алгоритму реально пред'являють не тільки виробники

					ВКРМ-122.23.0064.00.00.ПЗ	Арк.
Вим.	Арк.	№ докум.	Підпис	Дата		42

ігрових приставок, але й виробники багатьох інформаційних систем. Так, декомпресор фрактального алгоритму дуже ефективно й коротко реалізується з використанням технології MMX і розпаралелювання обчислень, а стиск по стандарту CCITT Group 3 легко реалізується апаратно.

Очевидно, що для конкретного завдання нам будуть дуже важливі одні вимоги й менш важливі (і навіть абсолютно байдужні) інші.

На практиці для кожного завдання ми можемо сформулювати набір пріоритетів з вимог, викладених вище, що і визначить найбільш підходящий у наших умовах алгоритм (або набір алгоритмів) для її рішення.

Критерії порівняння алгоритмів

Помітимо, що характеристики алгоритму щодо деяких вимог додатків, сформульовані вище, залежать від конкретних умов, у які буде поставлений алгоритм. Так, ступінь компресії залежить від того, на якому класі зображень алгоритм тестується. Аналогічно, швидкість компресії нерідко залежить від того, на якій платформі реалізований алгоритм. Перевага одному алгоритму перед іншим може дати, наприклад, можливість використання в обчисленнях алгоритму технологій нижнього рівня, типу MMX, а це можливо далеко не для всіх алгоритмів. Так, JPEG істотно виграє від застосування технології MMX, а LZW ні. Крім того, нам доведеться враховувати, що деякі алгоритми розпаралелюються легко, а деякі ні.

Таким чином, неможливо скласти універсальний порівняльний опис відомих алгоритмів. Це можна зробити тільки для типових класів додатків за умови використання типових алгоритмів на типових платформах. Однак такі дані надзвичайно швидко застарівають.

У той же час ми можемо розглянути таку рідку на сьогодні вимогу, як стійкість до помилок. Можна припустити, що незабаром (через 5-10 років) з поширенням ширококомовлення в мережі Internet для його забезпечення будуть

					ВКРМ-122.23.0064.00.00.ПЗ	Арк.
Вим.	Арк.	№ докум.	Підпис	Дата		43

використовуватися саме алгоритми, стійкі до помилок, навіть не розглянуті в сьогоднішніх статтях і оглядах.

З усіма зробленими вище застереженнями, виділимо декілька найбільш важливих для нас критеріїв порівняння алгоритмів компресії, які й будемо використовувати надалі. Як легко помітити, ми будемо обговорювати менше критеріїв, ніж було сформульовано вище:

1. Гірший, середній і кращий коефіцієнти стиску. Тобто частка, на яку зросте зображення, якщо вихідні дані будуть найгіршими; якийсь середньостатистичний коефіцієнт для того класу зображень, на який орієнтований алгоритм; і, нарешті, кращий коефіцієнт. Останній необхідний лише теоретично, оскільки показує ступінь стиску найкращого (як правило, абсолютно чорного) зображення, іноді фіксованого розміру.

2. Клас зображень, на який орієнтований алгоритм. Іноді зазначено також, чому на інших класах зображень виходять гірші результати.

3. Симетричність. Відношення характеристики алгоритму кодування до аналогічної характеристики при декодуванні. Характеризує ресурсоемність процесів кодування й декодування. Для нас найбільш важливою є симетричність за часом: відношення часу кодування вчасно декодування. Іноді нам буде потрібно симетричність по пам'яті.

4. Є чи втрати якості? І якщо є, то за рахунок чого змінюється коефіцієнт архівування? Справа в тому, що в більшості алгоритмів стиску із втратою інформації існує можливість зміни коефіцієнта стиску.

5. Характерні риси алгоритму й зображень, до яких його застосовують. Тут можуть вказуватися найбільш важливі для алгоритму властивості, які можуть стати визначальними при його виборі.

					VKPM-122.23.0064.00.00.ПЗ	Арк.
Вим.	Арк.	№ докум.	Підпис	Дата		44

3.3 Розробка функціональної схеми

У рамках комп'ютерної графіки бурхливо розвивається зовсім нова область – алгоритми архівування зображень. Поява цієї області обумовлене тим, що зображення – це своєрідний тип даних, характеризуємий трьома особливостями:

1. Зображення (як і відео) займають набагато більше місця в пам'яті, ніж текст. Так, скромна, не дуже якісна ілюстрація на обкладинці книги розміром 500x800 точок, займає 1.2 Мб – стільки ж, скільки художня книга з 400 сторінок (60 знаків у рядку, 42 рядка на сторінці). Як приклад можна розглянути також, скільки тисяч сторінок тексту ми зможемо помістити на CD-ROM, і як мало там поміститься якісних незжатих фотографій. Ця особливість зображень визначає актуальність алгоритмів архівування графіки.

2. Другою особливістю зображень є те, що людський зір при аналізі зображення оперує контурами, загальним переходом кольорів і порівняно невідчутно до малих змін у зображенні. Таким чином, ми можемо створити ефективні алгоритми архівування зображень, у яких декомпресоване зображення не буде збігатися з оригіналом, однак людина цього не помітить. Дана особливість людського зору дозволила створити спеціальні алгоритми стиску, орієнтовані тільки на зображення. Ці алгоритми мають дуже високі характеристики.

3. Ми можемо легко помітити, що зображення, у відмінність, наприклад, від тексту, має надмірність в 2-х вимірах. Тобто як правило, сусідні точки, як по горизонталі, так і по вертикалі, у зображенні близькі за кольором. Крім того, ми можемо використовувати подобу між колірними площинами R, G і B у наших алгоритмах, що дає можливість створити ще більш ефективні алгоритми. Таким чином, при створенні алгоритму компресії графіки ми використовуємо особливості структури зображення.

На рисунку 3.5 зображена функціональна схема системи. Нижче

					ВКРМ-122.23.0064.00.00.ПЗ	Арк.
Вим.	Арк.	№ докум.	Підпис	Дата		45

розглянемо її більш докладно.

Схема складається з двох великих функціональних блоків:

- Блок компресії.
- Блок декомпресії.

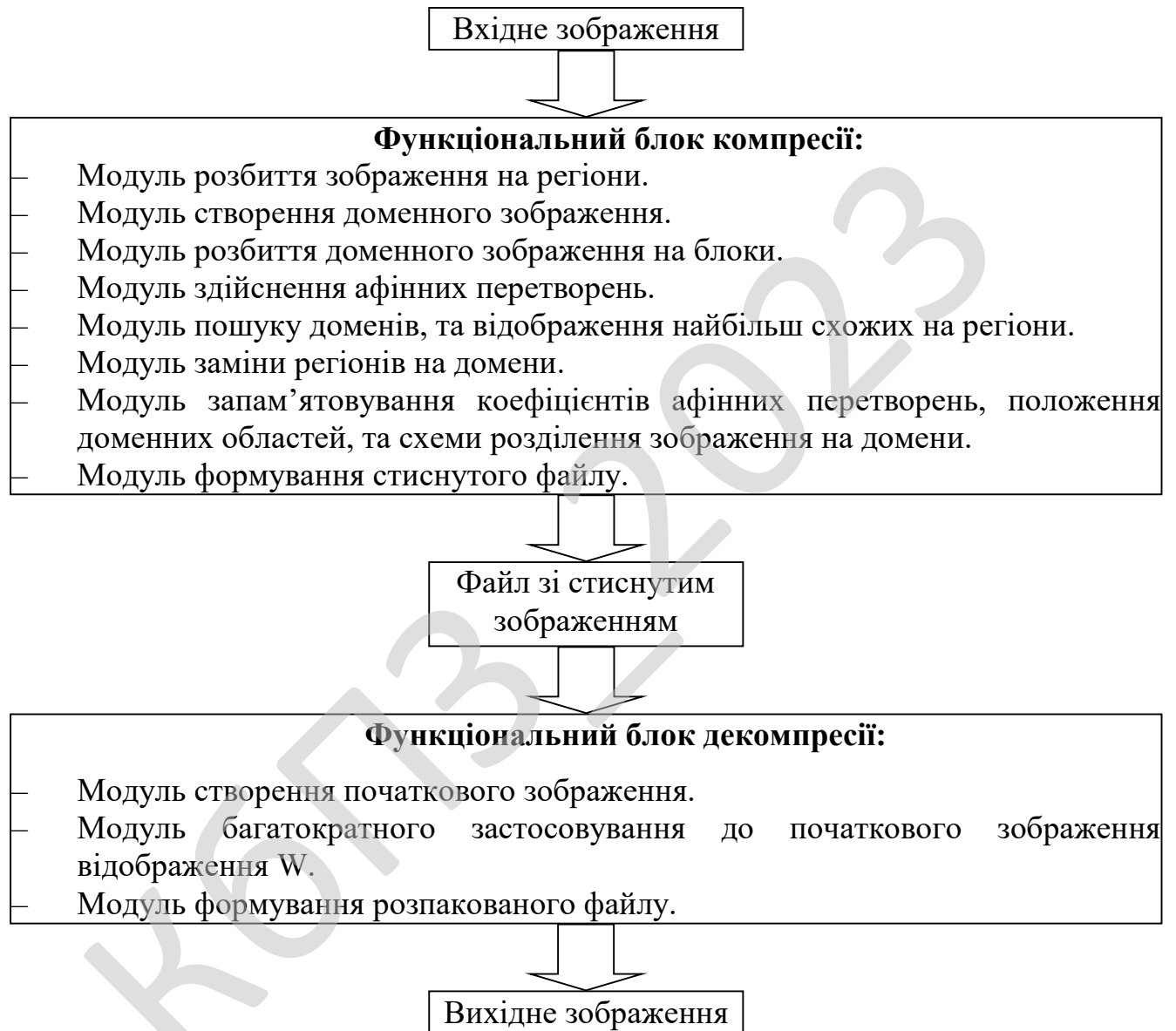


Рисунок 3.5 – Функціональна схема системи

На блок компресії подається вхідне зображення, яке необхідно стиснути.

Після цього це зображення послідовно, у блоці компресії, обробляється наступними модулями:

- Модуль розбиття зображення на регіони.
- Модуль створення доменного зображення.
- Модуль розбиття доменного зображення на блоки.
- Модуль здійснення афінних перетворень.
- Модуль пошуку доменів, та відображення найбільш схожих на регіони.
- Модуль заміни регіонів на домени.
- Модуль запам'ятовування коефіцієнтів афінних перетворень, положення доменних областей, та схеми розділення зображення на домени.
- Модуль формування стиснутого файлу.

Функціональний блок декомпресії складається з наступних модулів:

- Модуль створення початкового зображення.
- Модуль багатократного застосування до початкового зображення відображення W.
- Модуль формування розпакованого файлу.

Після того, як стиснуте зображення буде піддано послідовній обробці вищеперерахованих модулів, отримується вихідне зображення.

Класи зображень

Статичні растрові зображення являють собою двовимірний масив чисел. Елементи цього масиву називають пікселями. Всі зображення можна підрозділити на дві групи – з палітрою й без неї. У зображень із палітрою в пікселі зберігається число – індекс у деякому одномірному векторі кольорів, названому палітрою. Найчастіше зустрічаються палітри з 16 і 256 кольорів.

Зображення без палітри бувають у якій-небудь системі кольоропредставлення й у градаціях сірого (grayscale). Для останніх значення кожного пікселя інтерпретується як яскравість відповідної точки. Зустрічаються зображення з 2, 16 і 256 рівнями сірого. Одне із цікавих практичних завдань полягає в приведенні кольорового або чорно-білого зображення до двох градацій яскравості, наприклад, для печатки на лазерному принтері. При використанні якоїсь системи кольоропредставлення кожний піксель являє собою запис (структуру), полями якої є компоненти кольору. Найпоширенішою є система RGB,

					ВКРМ-122.23.0064.00.00.ПЗ	Арк.
Вим.	Арк.	№ докум.	Підпис	Дата		47

у якій колір представлений значеннями інтенсивності червоної (R), зеленої (G) і синьої (B) компонент. Існують і інші системи кольоропредставлення, такі, як СМУК, СІЕ XYZccir 60-1 і т.п. Нижче ми побачимо, як використовуються колірні моделі при стиску зображень із втратами.

Для того, щоб коректніше оцінювати ступінь стиску, потрібно ввести поняття класу зображень. Під класом буде розумітися якась сукупність зображень, застосування до яких алгоритму архівування дає якісно однакові результати. Наприклад, для одного класу алгоритм дає дуже високий ступінь стиску, для іншого – майже не стискає, для третього – збільшує файл у розмірі. (Відомо, що багато алгоритмів у найгіршому разі збільшують файл.)

Розглянемо наступні приклади неформального визначення класів зображень:

1. Клас 1. Зображення з невеликою кількістю кольорів (4-16) і більшими областями, заповненими одним кольором. Плавні переходи кольорів відсутні. Приклади: ділова графіка – гістограми, діаграми, графіки й т.п.

2. Клас 2. Зображення, із плавними переходами кольорів, побудовані на комп'ютері. Приклади: графіка презентацій, ескізні моделі в САПР, зображення, побудовані по методу Гуро.

3. Клас 3. Фотореалістичні зображення. Приклад: відскановані фотографії.

4. Клас 4. Фотореалістичні зображення з накладенням ділової графіки. Приклад: реклама.

Розвиваючи дану класифікацію, як окремі класи можуть бути запропоновані неякісно відскановані в 256 градацій сірого кольору сторінки книг або растрові зображення топографічних карт. (Помітимо, що цей клас не тотожний класу 4). Формально будучи 8– або 24-бітними, вони несуть навіть не растрову, а чисто векторну інформацію. Окремі класи можуть утворювати й зовсім специфічні зображення: рентгенівські знімки або фотографії в профіль і фас із електронного досьє. Досить складним і цікавим завданням є пошук найкращого алгоритму для конкретного класу зображень.

					ВКРМ-122.23.0064.00.00.ПЗ	Арк.
Вим.	Арк.	№ докум.	Підпис	Дата		48

Нема рації говорити про те, що якийсь алгоритм стиску краще іншого, якщо ми не позначили класи зображень, на яких рівняються наші алгоритми.

Класи додатків

Розглянемо наступну просту класифікацію додатків, що використовують алгоритми компресії:

1. Клас 1. Характеризуються високими вимогами вчасно архівування й розархівування. Нерідко потрібен перегляд зменшеної копії зображення й пошук у базі даних зображень. Приклади: Видавничі системи в широкому змісті цього слова. Причому якісні публікації, що як готовлять (журнали) зі свідомо високою якістю зображень і використанням алгоритмів архівування без втрат, так і газети, що готовлять, і інформаційні вузли в WWW, де є можливість оперувати зображеннями меншої якості й використовувати алгоритми стиску із втратами. У подібних системах доводиться мати справа з повнокольоровими зображеннями самого різного розміру (від 640x480 – формат цифрового фотоапарата, до 3000x2000) і з великим двоцвітними зображеннями. Оскільки ілюстрації займають левову частину від загального обсягу матеріалу в документі, проблема зберігання коштує дуже гостро. Проблеми також створює більша різноманітність ілюстрацій (доводиться використовувати універсальні алгоритми). Єдине, що можна сказати заздалегідь, це те, що будуть переважати фотореалістичні зображення й ділова графіка.

2. Клас 2. Характеризується високими вимогами до ступеня архівування й часу розархівування. Час архівування ролі не грає. Іноді подібні додатки також жадають від алгоритму компресії легкості масштабування зображення під конкретний дозвіл монітора в користувача. Приклад: Довідники й енциклопедії на CD-ROM. При створенні енциклопедій і ігор більшу частину диска займають статичні зображення й відео. Таким чином, для цього класу додатків актуальність здобувають істотно асиметричні за часом алгоритми (симетричність за часом – відношення часу компресії вчасно декомпресії).

					ВКРМ-122.23.0064.00.00.ПЗ	Арк.
Вим.	Арк.	№ докум.	Підпис	Дата		49

3. Клас 3. Характеризується дуже високими вимогами до ступеня архівування. Додаток клієнта одержує від сервера інформацію з мережі. Приклад: “Всесвітня інформаційна павутина” – WWW. У цій гіпертекстовій системі досить активно використовуються ілюстрації. При оформленні інформаційних або рекламних сторінок хочеться зробити їх більше яскравими й барвистими, що природно позначається на розмірі зображень. Найбільше при цьому страждають користувачі, підключені до мережі за допомогою повільних каналів зв'язку. Якщо сторінка WWW перенасичена графікою, то очікування її повної появи на екрані може затягтися. Оскільки при цьому навантаження на процесор мале, то тут можуть знайти застосування ефективно стискаючі складні алгоритми з порівняно більшим часом розархівування. Крім того, ми можемо видозмінити алгоритм і формат даних так, щоб переглядати огрублене зображення файлу до його повного одержання. Можна привести безліч більше вузьких класів додатків. Так, своє застосування машинна графіка знаходить і в різних інформаційних системах. Наприклад, уже стає звичним досліджувати ультразвукові й рентгенівські знімки не на папері, а на екрані монітора. Поступово в електронний вид переводять і історії хвороб. Зрозуміло, що зберігати ці матеріали логічніше в єдиній картотеці. При цьому без використання спеціальних алгоритмів більшу частину архівів займуть фотографії. Тому при створенні ефективних алгоритмів рішення цього завдання потрібно врахувати специфіку рентгенівських знімків – перевагу розмитих ділянок. Це неминуче накладає свої обмеження на алгоритм компресії. В електронних картотеках і досє різних служб для зображень характерна подоба між фотографіями в профіль, і подоба між фотографіями у фас, що також необхідно враховувати при створенні алгоритму архівування. Подоба між фотографіями спостерігається й у будь-яких інших спеціалізованих довідниках. Як приклад можна привести енциклопедії птахів або квітів. Нема рації говорити про те, що якийсь конкретний алгоритм компресії краще іншого, якщо ми не позначили клас додатків, для якого ми ці алгоритми збираємося порівнювати.

					ВКРМ-122.23.0064.00.00.ПЗ	Арк.
Вим.	Арк.	№ докум.	Підпис	Дата		50

3.4 Розробка діаграми процесів

Діаграма взаємодії процесів системи, розробленої у результаті виконання магістерського проектування, наведена на рисунку 3.6. Після початку роботи розробленого ПЗ ми потрапляємо до головного вікна ПЗ звідки можемо перейти до налаштувань ПЗ, бібліотеки системи стиснення растрових зображень без втрати якості провести відкриття стиснутого файлу та через аналіз зображення спробувати декомпресувати файл, провести виведення розпакованого зображення на екран, вибрати формат зображення та зберегти файл у вказаному форматі. Також через головне вікно ПЗ можемо провести відкриття файлу зображення та за допомогою аналізу зображення провести компресію файлу з попереднім переглядом результатів перед збереженням та подальшою компресією зображення, виведенням зображення на екран.

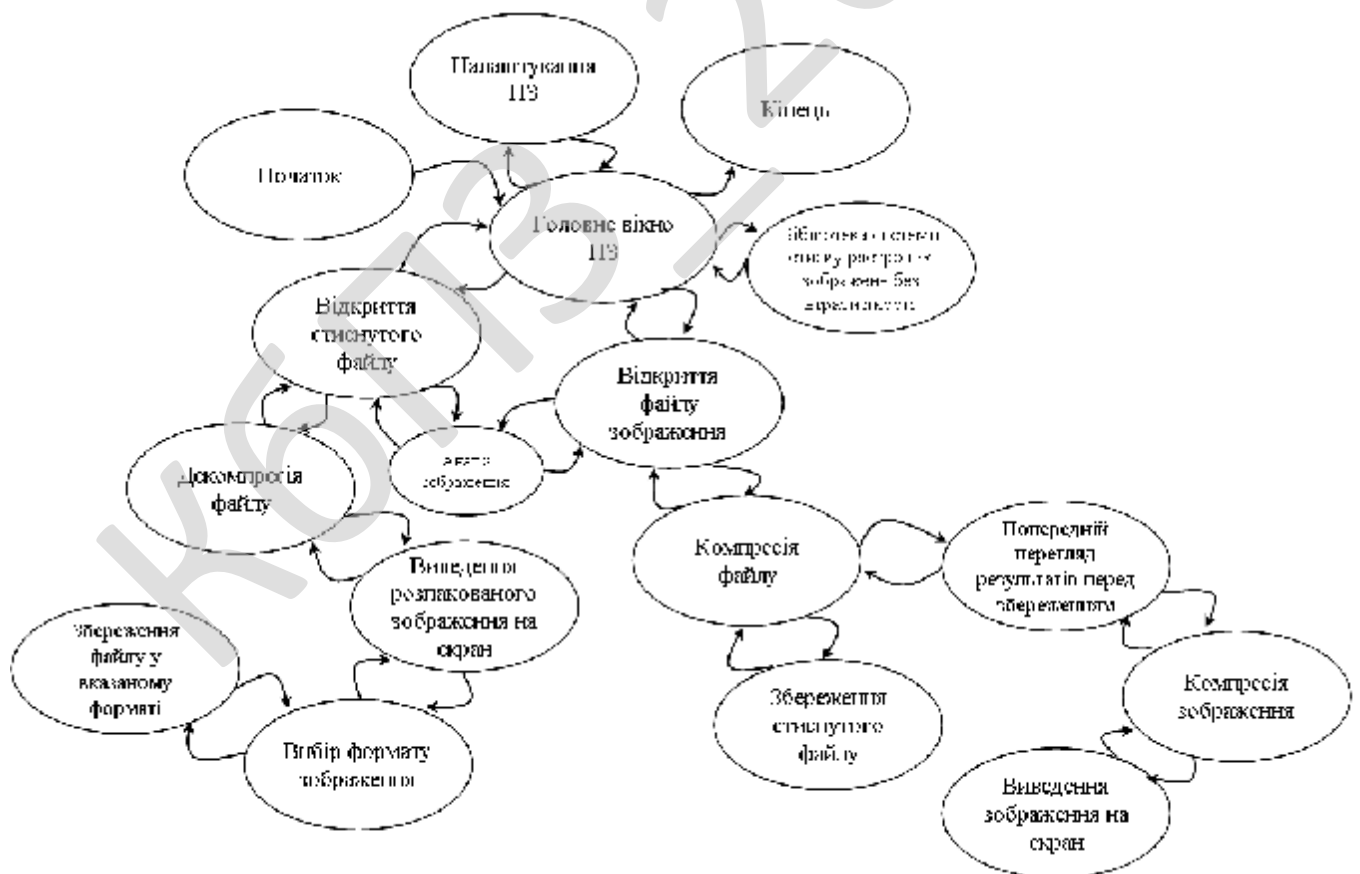


Рисунок 3.6 – Діаграма взаємодії

4 РЕАЛІЗАЦІЯ ПРОЕКТУ. РОЗРАХУНКИ І ЕКСПЕРИМЕНТАЛЬНІ ДАНІ, ЩО ПІДТВЕРДЖУЮТЬ ПРАВИЛЬНІСТЬ ПРОЕКТНИХ РІШЕНЬ

4.1 Блок-схеми та опис алгоритмів функціонування системи

На рисунку 4.1 наведено блок-схему основної програми. Її робота складається з виконання наступних кроків:

- Виведення головного вікна ПЗ.
- Запит відкриття зображення.
- Завантаження та формування контейнеру із зображенням.
- Виведення контейнеру на екран.
- Запит стиснення зображення.
- Вибір величини зміщення домену.
- Вибір величини розміру регіону.
- Підпрограма стиснення зображення.
- Виведення зображення та інформації стиснення.
- Збереження стиснутого зображення.
- Запит декомпресії.
- Підпрограма декомпресії зображення.
- Виведення зображення після декомпресії.
- Збереження декомпресійного зображення.
- Сигнал WM_CLOSE (запит).

На рисунку 4.2 наведено блок-схему підпрограми стиснення зображення. Її робота складається з виконання наступних кроків:

- Конвертація початкового зображення на сітку частин.
- Формування вихідного файлу.
- Встановлення кінцевого розміру вихідного файлу відносно сітки частин.

					ВКРМ-122.23.0064.00.00.ПЗ	Арк.
Вим.	Арк.	№ докум.	Підпис	Дата		52

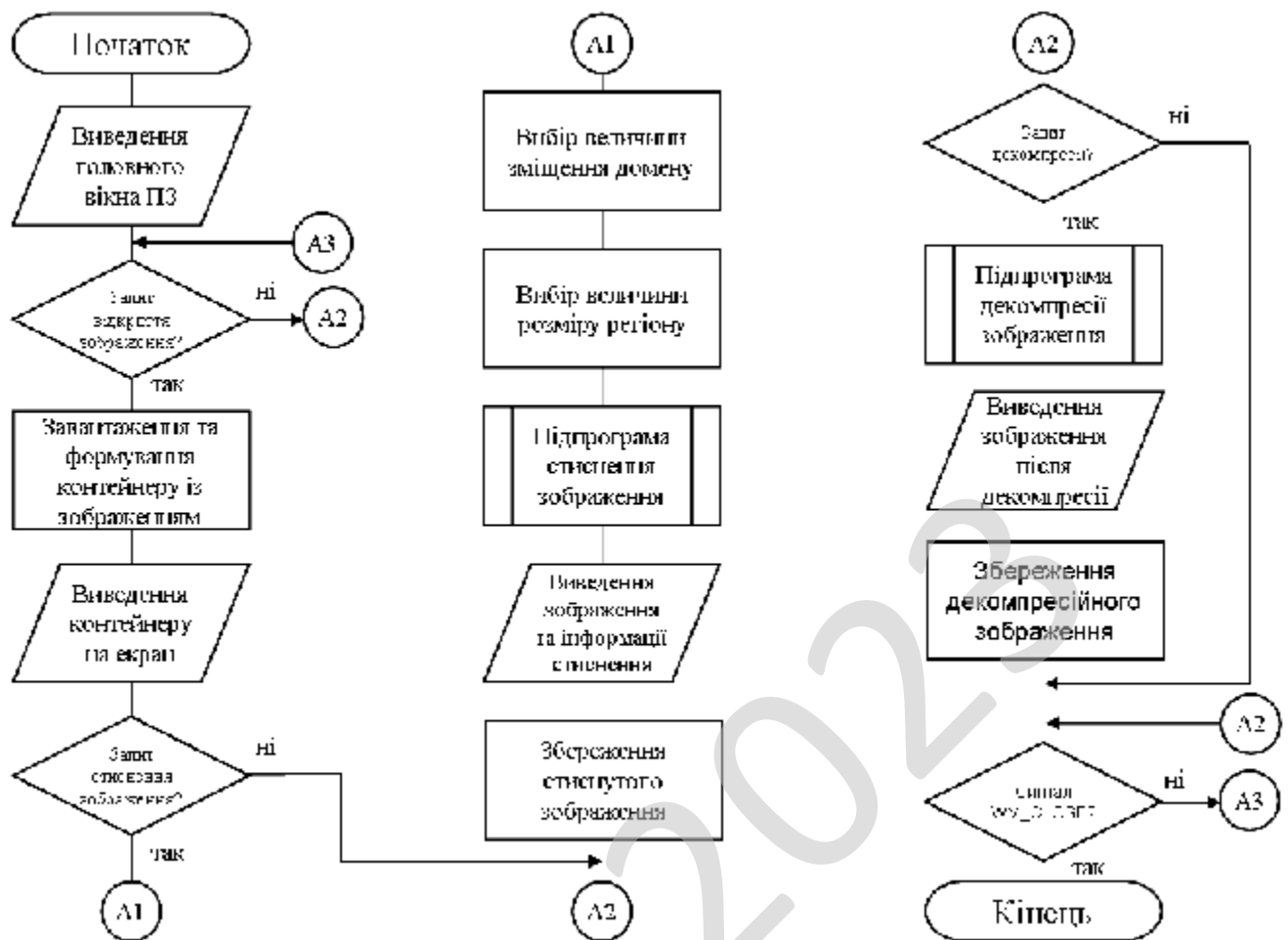


Рисунок 4.1 – Блок-схема основної програми

- Формування тимчасового контейнера зображення.
- Заповнення тимчасового контейнера початковим зображенням.
- Зменшення роздільної здатності зображення тимчасового контейнеру.
- Конвертація тимчасового контейнера зображення на сітку частин.
- Перетворення частин.
- Заміна частин тимчасового контейнеру з частинами вихідного файлу.
- Запис у вихідний файл коефіцієнтів перетворень.
- Запис у файл різниці середньої яскравості між частинами.
- Закриття вихідного файлу.



Рисунок 4.2 – Блок-схема підпрограми стиснення зображення

Опис алгоритмів функціонування системи

Опишемо процедури, які реалізують алгоритм стиснення:

```

type
// Опис одного регіону у вихідному файлі становить всього-на-всього 6 байт
// У такий спосіб розмір файлу = Кількості регіонів * 6
  TIfsRec = packed record
    DomCoord, DomCoord: Word;
// Координати лівого верхнього кута домену
    Betta, FormNum: Byte;
// Розходження в яскравості, Номер перетворення
  end;
  TRegionRec = packed record
    MeanColor: Integer;

```



```

// Максимально припустимий розмір зображення
    FStop: Boolean;
    FIfsIsLoad: Boolean;
// Перевіряє, чи була виконана компресія ( чизавантажені IFS-дані)
    FBaseRegionSize: Integer;
// Розмір регіону при стиску
// Очищає дані
    procedure ClearData;
// Генерує виняткову ситуація з повідомленням Msg
    procedure Error(Msg: string; Args: array of const);
// Створює масив посилань Regions на регіони
    procedure CreateRegions;
// По вихідному зображенню SourImage створює доменне зображення
    procedure CreateDomainImage;
// Створює масив 2-мірний Domains, у який заноситься усереднена кольорожскравість
    для кожного домену
    procedure CreateDomains;
// Визначає усереднену яскравість для ділянки Image з початком у т. (X, Y)
    function GetMeanBrigth(Image: PByteArray; X, Y, Width: Integer): Byte;
    function XRegions: Integer;
// Число регіонів по X
    function YRegions: Integer;
// Число регіонів по B
    function XDomains: Integer;
// Число доменів по X
    function YDomains: Integer;
// Число доменів по B
    function DomainImageWidth: Integer;
// Ширина доменного зображення
    procedure SetGamma(const Value: Real);
    procedure SetMaxImageSize(const Value: Integer);
    procedure SetRegionSize(const Value: Integer);
    procedure SetDomainOffset(const Value: Integer);
// Трансформує заданий регіон у відповідності з TransformType. Пікселі в
// заданому регіоні повинні йти один за одним
    procedure TransformRegion(Sour, Dest: PByteArray; TransformType:
TTransformType);
    {Повертає різницю (метрична відстань) між регіоном і доменом
    function GetDifference(Region: PByteArray; DomCoord, DomCoord, Betta:
Integer): Integer;
// Копіює зазначений регіон з масиву AllImage у масив Dest.
// Width - ширина масиву AllImage

```

						ВКРМ-122.23.0064.00.00.ПЗ	Арк.
Вим.	Арк.	№ докум.	Підпис	Дата			56

```

    procedure CopyRegion(AllImage, Dest: PByteArray; X, Y, Width: Integer);
    function GetPixel(X, Y: Integer): Byte;
public
    constructor Create(AOwner: TComponent); override;
    destructor Destroy; override;
// Виконує властиво сам стиск. При UseAllTransform будуть виконані
// всі афінні перетворення: поворот і симетрія. У противному випадку
// буде виконаний тільки поворот
    procedure Compress(UseAllTransform: Boolean = True; BackProc:
TProgressProc = nil);
// Примусово перериває процес фрактального стиску
    procedure Stop;
// Виконує розпакування зображення. IterCount - кількість ітерацій розпакування,
// RegSize - розмір регіону з розпакованому зображенні. Якщо ця величина
// така ж, як RegionSize при стиску, то розмір зображення буде як при стиску.
// При зменшенні RegSize розпаковане зображення зменшується й навпаки
    procedure Decompress(IterCount: Integer = 15; RegSize: Integer = 0);
// Будує зображення по доменам. Можна використовувати відразу
// після стиску для того, щоб перевірити якість стиску. Зображення,
// побудоване по доменам, схоже на відновлене зображення, тільки має більшу
// контрастність
    procedure BuildImageWithDomains;
// Перевіряє, чи була виконана компресія ( чизавантажені IFS-дані, необхідні
// для декомпресії). Якщо IFSIsLoad=True, то можна сміло робити декомпресію
    property IFSIsLoad: Boolean read FIFSIsLoad;
// Ширина зображення (вихідного, побудованого по доменам, або розпакованого)
    property ImageWidth: Integer read SourWidth;
// Висота зображення (вихідного, побудованого по доменам, або розпакованого)
    property ImageHeight: Integer read SourHeight;
// Повертає значення яскравості для зазначеного пікселя
    property Pixel[X, Y: Integer]: Byte read GetPixel;
// Завантажує повнокольорове зображення TBitmap для подальшої компресії
    procedure LoadImage(Image: TBitmap);
// Малює зображення на переданому TBitmap. При Regions = True рисується вихідне
// зображення, інакше рисується доменне зображення (воно таке ж, тільки
// в 4 рази менше по площі)
    procedure DrawImage(Image: TBitmap; Regions: Boolean = True);
// Зберігає результат стиску у двійковий файл
    procedure SaveToFile(FileName: string);
// Виконує завантаження даних із двійкового файлу
    procedure LoadFromFile(FileName: string);

```

					ВКРМ-122.23.0064.00.00.ПЗ	Арк.
Вим.	Арк.	№ докум.	Підпис	Дата		57


```

    FractalComp.DrawImage (fmShowImage.Imagel.Picture.Bitmap, False)
else
    fmShowImage.Imagel.Picture := ImPreview.Picture;
with fmShowImage do
begin
    AutoSize := True;
    Position := poScreenCenter;
    ShowModal;
end;
FreeAndNil (fmShowImage);
end;
end;

```

4.2 Захист розробленого програмного забезпечення

Дані які використовуються у даній роботі захищаються алгоритмом ДСТУ 9041:2020. Його повна назва: ДСТУ 9041:2020. Інформаційні технології. Криптографічний захист інформації. Алгоритм шифрування коротких повідомлень, що ґрунтується на скручених еліптичних кривих Едвардса.

Цей алгоритм призначений для шифрування коротких (до 616 біт) повідомлень для будь-яких алгоритмів шифрування, в тому числі визначених національними стандартами України.

Як і стандарт цифрового підпису ДСТУ 4145:2002, новий алгоритм використовує криптографічні перетворення у групі точок еліптичних кривих, використовуючи замість кривих у формі Вейерштрасса найновітніші розробки у галузі еліптичної криптографії – криві у формі Едвардса. Це дає суттєві переваги у швидкодії більш ніж у 3 рази. Новий стандарт розроблений з урахуванням усіх найсучасніших вимог до стійкості криптографічних алгоритмів. Так, нижня межа стійкості криптосистем у цьому стандарті дорівнює 2127 (≈ 1042) (це більш ніж у півтора рази вище, ніж у ДСТУ 4145) і можуть бути обрані інші рівні, такі як 2255 (≈ 1085), 2383 (≈ 10127) та 2767 (≈ 10255); крім того, строго обґрунтована його стійкість як до атак на відновлення відкритого тексту, так і до розрізняючих атак.

					ВКРМ-122.23.0064.00.00.ПЗ	Арк.
Вим.	Арк.	№ докум.	Підпис	Дата		59

Проект алгоритму шифрування, що ліг в основу цього стандарту, пройшов апробацію як в Україні, так і за її межами (Центрально-Європейська конференція з криптографії (червень 2020 року) – форум ведучих криптологів з усього світу).

Стандарт ДСТУ-9041 узгоджений з усіма діючими в Україні національними стандартами. Новиною стандарту є його сфера застосування – інкапсуляція ключів, найсучасніший математичний апарат, а також новий алгоритм генерації псевдовипадкових послідовностей, який, на відміну від аналогічного алгоритму генерації з ДСТУ 4145, використовує виключно національні криптографічні алгоритми національних стандартів та не містить посилань на відповідні пост-радянські стандарти, термін дії яких вже практично вичерпався.

Новий стандарт не належить до так званих постквантових стандартів. Але його стійкість буде під загрозою лише тоді, коли з'являться квантові комп'ютери з 700 і більше кубітами (на даний час кількість "робочих" кубітів, які вдалося створити, – близько 50). Його перевагою перед постквантовими алгоритмами є відносно невелика довжина ключа (у десятки або навіть у сотні разів менша, ніж у постквантових алгоритмах).

					ВКРМ-122.23.0064.00.00.ПЗ	Арк.
Вим.	Арк.	№ докум.	Підпис	Дата		60

При розробці ПЗ була створена форма авторського права з ліцензій на використання програмного забезпечення.

Ліцензія на використання програмного забезпечення це вид ліцензії, що визначає умови використання виробу, яким є комп'ютерне програмне забезпечення.

Ліцензія може надавати дозвіл робити з ним речі, які були б інакше заборонені законом про авторське право. Наприклад, ліцензія на використання програмного забезпечення може дати дозвіл робити копії програмного забезпечення. Власник авторського права може запропонувати ліцензію на використання ПЗ односторонньо, або як частину ліцензійної угоди на використання ПЗ з іншою стороною.

КБПЗ-2023

					ВКРМ-122.23.0064.00.00.ПЗ	Арк.
Вим.	Арк.	№ докум.	Підпис	Дата		62

6 НАУКОВА НОВИЗНА

У випускній кваліфікаційній роботі за другим (магістерським) рівнем вищої освіти розроблено програмне забезпечення, яке призначено для системи стиснення растрових зображень без втрати якості.

Метою розробки є дослідження та програмна реалізація системи стиснення растрових зображень без втрати якості.

Об'єктом дослідження є процес стиснення растрових зображень без втрати якості.

Предметом дослідження є методи стиснення растрових зображень без втрати якості.

Методи дослідження базуються на методах комп'ютерної графіки, методах математичної статистики, методах розробки програмного забезпечення.

Наукова новизна отриманих результатів. У процесі рішення завдань, обумовлених цілями дослідження, отримані наступні результати:

- Удосконалено метод стиснення растрових зображень без втрати якості.
- Розроблено вітчизняний продукт стиснення растрових зображень без втрати якості, який має більш широкі можливості, на відміну від існуючих аналогів.

					VKPM-122.23.0064.00.00.ПЗ	Арк.
Вим.	Арк.	№ докум.	Підпис	Дата		63

7 ДАНІ ПРО ЕКОНОМІЧНУ ЕФЕКТИВНІСТЬ РОЗРОБЛЕНОЇ ПРОГРАМИ

7.1 Техніко-економічне обґрунтування теми випускної кваліфікаційної роботи за другим (магістерським) рівнем вищої освіти

Після ознайомлення з підприємством та засобами розробки програмної продукції був розроблений план розробки програми. Був підрахований необхідний час для розробки та впровадження програми. Цей час склав 60 днів (три місяці).

В магістерській роботі було проведено дослідження та виконана програмна реалізація системи стиснення растрових зображень без втрати якості.

Розроблене програмне забезпечення має достатню надійність і задовольняє усім поставленим умовам, а саме:

- а) невеликий розмір;
- б) невеликі системні потреби;
- в) незалежність від встановлених на комп'ютері баз даних;
- г) зручність у користуванні та надійність

Таблиця 7.1 – Початкові дані

Показники	Позначення	Характеристика або величина
1	2	3
1. Кількість розроблених програм період, шт	N	1
2. Кількість екземплярів програм, шт	Ne	40
3. Запланований термін розробки, днів	Fpq	60 (3 місяці)
4. Група задачі підсистеми управління (1-6)	–	1
5. Ступінь новизни задачі (А, Б, В, Г)	–	Б
6. Складність алгоритму (1, 2, 3)	–	2
7. Кількість макетів вхідної інформації	–	3

Продовження табл. 7.1

1	2	3
8. Кількість форм вихідної інформації.	–	4
9. Мова програмування (1-6)	–	2
10. Попередній досвід (1-6)	–	3
11. Гнучкість проекту ПП (1-6)	–	3
12. Детальність проекту ПП (1-6)	–	2
13. Рівень спрацьованості колективу (1-6)	–	2
14. Ступінь вимірності процесів (1-6)	–	3
15. Необхідна надійність програмного забезпечення (1-6)	–	2
16. Розмір бази даних (порівняно з розміром програми) (1-6)	–	2
17. Складність кінцевого програмного продукту (1-6)	–	2
18. Необхідний рівень забезпечення повторного використання (1-6)	–	2
19. Документованість відповідно до планованого життєвого циклу (1-6)	–	2
20. Вимоги до швидкодії ПП (1-6)	–	2
21. Обмеження на розміри основного сховища даних (1-6)	–	2
22. Різноманітність використовуваних обчислювальних платформ (1-6)	–	2
23. Професійний рівень аналітиків (1-6)	–	2
24. Професійний рівень програмістів (1-6)	–	2
25. Постійність складу команди розробників (1-6)	–	2
26. Досвід розробки додатків (1-6)	–	2
27. Досвід роботи з обчислювальною платформою (1-6)	–	2

Продовження табл. 7.1

1	2	3
28. Досвід роботи з мовою і інструментами середовища розробки (1-6)	–	2
29. Досвід роботи з програмними інструментами розробки (1-6)	–	3
30. Розробка ПЗ для декількох серверів одночасно (1-6)	–	2
31. Вимоги до дотримання встановленого графіка робіт (1-6)	–	2
32. Вартість ПЗ у розробника (НМА), грн	–	40000
33. Норматив додаткової зарплати, % :	Нд	10
34. Норматив відрахувань у соціальні фонди, %	Нс	22
35. Норматив загальногосподарських витрат, %	Нг	15
36. Норматив витрат на освоєння нових мов програмування, %	Нп	15
37. Рівень рентабельності програмної продукції, %	Ре	55
38. Ставка податку на додану вартість, %	Ндв	20

7.2 Розрахунок трудомісткості розробки програмної продукції

Значення трудомісткості розробки програмного забезпечення для стадій ТЗ, ЕК, ТП та ВП визначаємо по типовим нормам часу приведеним в додатках МВ. Стадія РП є найбільш тривалою і трудомісткою, що робить значний вплив на інші стадії проекту.

Визначимо трудомісткість розробки ПЗ для стадії РП.

Обчислюємо номінальні трудовитрати, люд-міс.:

$$T_{ном} = A \text{ Size}^B, \quad (7.1)$$

де A – коефіцієнт Боєма, $A=2,45$; $Size$ – загальний об'єм відлагодженого програмного коду, тис. рядків; B – показник ступеня, що визначається співвідношенням

$$B = 1,01 + 0,001 \sum W_i \quad (7.2)$$

де W_i – сумарне значення п'яти показників (МВ, додаток 2), що відображають особливості розробки проекту програмного продукту (ПП) і колективу розробників.

$$B = 1,01 + 0,001(2,43 + 3,64 + 3,38 + 3,95 + 2,73) = 1,026$$

$$T_{ном} = 2,45 \cdot 2,7^{1,026} = 6,78 \text{ люд-міс.}$$

Визначаємо уточнені (з урахуванням приведених в МВ додатку 3 сімнадцяти додаткових коефіцієнтів) трудовитрати, люд-міс.:

$$T_{уточн} = T_{ном} \prod V_j, \quad (7.3)$$

де $\prod V_j$ – добуток сімнадцяти додаткових коефіцієнтів, приведених в МВ додатку 3.

$$T_{уточн} = 6,78 \cdot (0,88 \cdot 0,93 \cdot 0,88 \cdot 0,91 \cdot 0,95 \cdot 1 \cdot 1 \cdot 0,87 \cdot 1,22 \cdot 1,16 \cdot 1,1 \cdot 1,1 \cdot 1,12 \cdot 1,1 \cdot 1,1 \cdot 1,1 \cdot 1,1) = 9,37 \text{ люд-міс.}$$

Ці коефіцієнти дозволяють диференційовано оцінювати результати роботи програмістів, беручи до уваги швидкодію програми, використання різноманітних обчислювальних платформ і інструментів розробки, взаємодію декількох серверів, вимоги до об'ємів баз даних і ін.

Визначаємо підсумкові трудовитрати по стадії робочий проект, люд-дні:

$$T_{РП} = 0,3CT_{уточн}^{0,33+0,2(B-1,01)}S, \quad (7.4)$$

де C – визначений емпірично коефіцієнт, запропонований авторами методики, (МВ, додаток 4); S – коефіцієнт стиснення (або подовження) графіка робіт %, що дозволяє коректувати терміни розробки ПО згідно встановленим вимогам. Вибираємо в межах (25...350)%

$$T_{РП} = 0,3 \cdot 2,66 \cdot 9,37^{0,33+0,2(1,026-1,01)} \cdot 59 = 99 \text{ люд/день}$$

Для зручності визначення загальної трудомісткості на розробку програмного забезпечення результати розрахунків по стадіям зводимо до таблиці 7.2.

					ВКРМ-122.23.0064.00.00.ПЗ	Арк.
Вим.	Арк.	№ докум.	Підпис	Дата		67

Таблиця 7.3 – Затрати часу на виконання профілактичних робіт по обслуговуванню обладнання за розрахунковий період

Найменування обладнання	Профілактичне обслуговування			
	Кількість хв. на один. обл.	Кількість обладнан ня	Затрати часу в хв.	Затрати часу в год.
Системний блок ПК	385	12	4620	77
Монітор	160	12	1920	32
Клавіатура	140	12	1680	28
Маніпулятор «мишка»	30	12	360	6
Принтер матричний	185	1	185	3
Принтер лазерний	355	2	710	12
Принтер струминний	300	1	300	5
Сканер	155	2	310	5
Концентратор-маршрутизатор	155	2	310	5
Кабельні господарства ЛОМ на 1 м.п.	2,5	100	250	4
Кабельне господарство електромереж	48	50	2400	40
Копіювальний апарат	285	2	570	10
Усього за рік:			3 _ч	227

Час на профілактику обладнання в загальному балансі робочого часу інженерів-електронщиків не повинен складати більше 10%

Виходячи з цього фонд робочого часу інженерів-електронщиків складає:

$$\Phi_{op}^c = \frac{3_{ч} \cdot n_{mic}}{1,2} \quad (7.6)$$

$$\Phi_{op}^c = \frac{227 \cdot 3}{1,2} = 567,5 \text{ год}$$

Визначаємо необхідну кількість ставок штатного персоналу сектора ТО:

$$Ч_{ел} = \frac{\Phi_{др}^c}{F_{др} \cdot T_{зм}} \quad (7.7)$$

$$Ч_{ел} = 567,5 / (60 \cdot 8) = 1,2 \text{ ставки}$$

Для забезпечення нормального технічного обслуговування засобів ТО та мереж, необхідно прийняти найбільше ціле значення розрахункової чисельності інженерів – електронщиків.

Чисельність інженерів-системотехніків, адміністраторів мережі, дизайнерів WEB вузлів, системних програмістів (аналітиків), бухгалтерів-економістів визначається за потребою в залежності від функціональних обов'язків. Після визначення чисельності персоналу складається штатний розклад.

Таблиця 7.4 – Розрахунок чисельності штатного персоналу сектору системного та адміністративного обслуговування засобів ОТ та комп'ютерних мереж

Посада	Вид роботи	Час	Кількість штатних одиниць
Адміністратор загальної мережі, аналітик	Адміністрування локальної мережі, поштового та серверу DNS (ОС FreeBSD), маршрутизатора Cisco, серверу доступу АДСЛ (ОС Linux), Wi-Fi	2	0,5
	налаштування ADSL, VPN, PPPoE, Frame Relay	0,5	
	Налаштування і конфігурування базової станції безпроводного зв'язку (СМТS)	0,5	
	Розробка та впровадження проектів з організації зв'язку між віддаленими об'єктами, ЛОМ	1	
Всього	Забезпечення цілодобової роботи зв'язку клієнтів д мережі Інтернет	4	

Продовження таблиці 7.4

Посада	Вид роботи	Час	Кількість штатних одиниць
Продакт-менеджер	Презентації нової продукції, пошук каналів збуту	1	0,25
	Підтримка постійних клієнтів	0,5	
	Оформлення договорів, ведення тендерів	0,25	
	Контроль взаєморозрахунків з постачальниками	0,25	
Всього		2	
Дизайнер WEB	Розробка концепції оформлення та інтерфейсу сайту, оптимізація дизайну існуючих, проектує їх структуру та навігацію	1	0,25
	Створення графічних і стилістичних елементів сайту	0,5	
	Оформлення банерів і промо-сторінок	0,25	
	Розміщення графіки і контенту на Інтернет сторінках	0,25	
Всього		2	
Інженер верстальник	Розробка та верстка макетів рекламної продукції та технічної документації	1	0,25
	Верстка друкованих видань	0,5	
	Додрукова підготовка макетів	0,25	
	Розміщення графіки і контенту на Інтернет сторінках	0,25	
Всього		2	

Складемо штатний розклад виконавців:

					ВКРМ-122.23.0064.00.00.ПЗ	Арк.
Вим.	Арк.	№ докум.	Підпис	Дата		71

Таблиця 7.5 – Штатний розклад виконавців

Посада	Кількість ставок	Середньо-місячний оклад, грн.	Всього за період розробки, грн.
Керівник (ІТ-менеджер)	1	11980	35940
Продакт-менеджер	0,25	12000	9000
Інженер-програміст	2,55	13000	99450
Інженер-електронщик	1,2	11000	39600
Інженер-системотехнік	0,25	12000	9000
Адміністратор мережі	0,5	11000	16500
Системний програміст	0,25	11000	8250
Дизайнер WEB	0,25	11000	8250
Інженер-верстальник	0,25	11000	8250
Бухгалтер-економіст	0,5	11000	16500
Всього за період розробки	$R_{cn}=7$	-	$\Phi_{роб}=250740$

Розрахуємо середньоденну зарплату одного виконавця:

$$z_{co} = \frac{\Phi_{роб}}{R_{cn} F_{pq}}, \quad (7.8)$$

де $\Phi_{роб}$ – загальна сума зарплати за плановий період, грн.

$$z_{co} = \frac{250740}{7 \cdot 60} = 597 \text{ грн.}$$

7.4 Розрахунок капітальних вкладень та амортизаційних відрахувань у розробника

Балансова вартість будівель визначається з урахуванням кількості робочих місць виконавців, питомої площі на одне робоче місце, та вартості одного квадратного метра виробничої площі

					ВКРМ-122.23.0064.00.00.ПЗ	Арк.
Вим.	Арк.	№ докум.	Підпис	Дата		72

$$B_{y\delta} = R_{cn}^1 S_y C_{пл}, \quad (7.9)$$

де R_{cn}^1 – кількість робочих місць виконавців, шт. Приймаємо 8 робочих місць. S_y – питома площа на одне робоче місце, m^2 ; $C_{пл}$ – вартість одного квадратного метра площі, грн.

Згідно даних ТОВ науково-дослідницького консалтингового підприємства «Пектораль» ціна одного квадратного метра площі новобудови, вік якої не перевищує 25 років, по місту складає 500...1600 у.о./ m^2 . Враховуючи, що курс складає 1 у.о. = 37 грн. приймаємо для розрахунку вартість одного метра квадратного рівною 20000 грн./ m^2 . На кожне робоче місце у середньому потрібно 8 m^2 . З урахуванням цього:

$$B_{y\delta} = 8 \cdot 8 \cdot 20000 = 1280000 \text{ грн.}$$

Вартість передавальних пристроїв складає 10% від вартості будівель, і у даному випадку вона складе: 128000 грн.

Балансова вартість інвентарю розраховується за нормою 3500 грн на одне робоче місце. Тобто

$$I_{нв} = R_{cn}^1 \cdot C_{м}, \quad (7.10)$$

де $C_{м}$ – ціна меблів для одного робочого місця, грн.

$$I_{нв} = 8 \cdot 3500 = 28000 \text{ грн}$$

Балансова вартість обчислювальної техніки визначається по оптовим цінам постачальника з врахуванням витрат на транспортування.

Специфікація на обчислювальну техніку наведена в таблиці 7.7. Дані по оптовій ціні на обладнання та комплектуючі вибирались по прайсу Інтернет магазину Компбест за 28.10.23 – джерело <https://compbest.com.ua>.

					ВКРМ-122.23.0064.00.00.ПЗ	Арк.
Вим.	Арк.	№ докум.	Підпис	Дата		73

Продовження таблиці 7.6

Найменування комплектуючої або обладнання	Тип	Оптова ціна
Монітор	Samsung S22R350FHI (LS22R350FHIXCI) / 21.5" (1920x1080) IPS LED / HDMI, VGA	3600
Принтер лазерний	Canon i-SENSYS LBP6030W	2700
Принтер струменевий	Epson Stylus Photo P50 (C11CA45341) + USB cable	5500
Копіювальний апарат	Canon i-SENSYS MF217W with Wi-Fi	5965

Витрати на транспорт, монтаж та випробування можуть бути прийняті в межах до 10% від оптової ціни.

Для визначення необхідної кількості капітальних вкладень складемо таблицю 7.8.

Таблиця 7.7 – Балансова вартість обчислювальної техніки

Найменування обчислювальної техніки	Кількість, шт.	Ціна за одиницю, грн.	Витрати на транспортування, монтаж та випробування.	Загальна вартість, грн.
Персональні комп'ютери	8	10947	8757,6	96333,6
Принтер лаз.	2	2700	540	5940
Принтер струм.	1	5500	550	6050
Копіюв. апарат	1	5965	596,5	6561,5
Всього	–	–	–	114885,1

Таблиця 7.8 – Вартість основних фондів та амортизаційні відрахування розробника

Групи та види основних фондів	Балансова вартість, грн.	Амортизація	
		Норма, %	Відрахування, грн.
1	2	3	4
Група 3			
1. Будівлі	1280000	-	-
2. Передавальні пристрої	128000	-	-
Всього по групі	1408000	5	70400
Група 4			
3. Обчислювальна техніка	114885	-	-
Всього по групі	114885	50	57442,5
Група 5			
4. Вимірювальні пристрої	5190	-	-
5. Господарський інвентар	28000	-	-
Всього по групі	33190	25	8297,5
Нематеріальні активи			
6. Нематеріальні активи	40000	10	4000
Разом	$K_p = 1596075$		$A_p = 140140$

7.5 Визначення собівартості розробки та ціни програмної продукції

Визначимо основну зарплату виконавців

$$z_o = \frac{z_{cd} \cdot T_{nz}}{N_e}, \quad (7.11)$$

де N_e – Кількість екземплярів програм, шт.

$$Z_o = 597 \cdot 140 / 40 = 2090 \text{ грн}$$

Визначимо додаткову зарплату (оплата відпусток, виконання державних та суспільних обов'язків) на рівні 10%

$$Z_d = Z_o \cdot H_q \cdot 0,01, \quad (7.12)$$

де H_q – норматив додаткової зарплати, %

$$Z_d = 2090 \cdot 10 \cdot 0,01 = 209 \text{ грн}$$

Відрахування на соціальні потреби за нормативом $H_c = 22\%$ від суми основної та додаткової зарплати

$$C_{oc} = 0,01 \cdot H_c (Z_o + Z_d), \quad (7.13)$$

де H_c – відрахування на соціальні потреби, %

$$C_{oc} = 0,01 \cdot 22 (2090 + 209) = 506 \text{ грн}$$

Визначимо загальногосподарські витрати (електроенергію, ремонт і утримання приміщень і т.д) за нормативом $H_g = 15\%$ від основної зарплати

$$G_{ocn} = Z_o \cdot H_g \cdot 0,01, \quad (7.14)$$

де H_g – загальногосподарські витрати, %

$$G_{ocn} = 2090 \cdot 15 \cdot 0,01 = 314 \text{ грн}$$

Визначимо витрати на матеріали для розробки програмної продукції за нормами споживання та діючими цінами за одиницю виміру:

$$Z_M = (Z_{M1} + Z_{M2} + Z_{M3}) / N_e, \quad (7.15)$$

де Z_{M1} – вартість паперу, грн., Z_{M2} – вартість запам'ятовуючих пристроїв, грн., Z_{M3} – вартість фарби, картриджей, тонеру, грн., N_e – кількість екземплярів програм, шт.

Згідно норм n_{mic} приймаємо 1/6 пачки паперу на місяць розробки. Тоді, враховуючи, що вартість пачки паперу складає $C_n = 210$ грн., визначаємо вартість паперу за період розробки $N_m = 3$ міс:

$$Z_{M1} = C_n \cdot N_m \cdot n_{mic}. \quad (7.16)$$

$$Z_{M1} = 210 \cdot 3 \cdot 1/6 = 105 \text{ грн.}$$

					ВКРМ-122.23.0064.00.00.ПЗ	Арк.
Вим.	Арк.	№ докум.	Підпис	Дата		77

Згідно виданих норм до вартості запам'ятовуючих пристроїв входить вартість CD/DVD дисків в кількості 10 примірників:

$$Z_{M2} = \sum C_{d.}, \quad (7.17)$$

де C_d – вартість дисків CD/DVD: CDR TDK 700Mb, 80Min, 52x Cake box – 49,2 грн/шт., DVD-R LG 4,7Gb, 16x speed Cake box – 49,2 грн/шт.

$$Z_{M2} = 49,2 \cdot 10 = 492 \text{ грн.}$$

Згідно виданих норм одноразовій заправці підлягають усі друкуючі пристрої і становить:

$$Z_{M3} = \sum C_{z.}, \quad (7.18)$$

де: C_z – вартість розхідних матеріалів друкуючих пристроїв: відновлення та заправка картриджу для Canon i-SENSYS LBP6030W – 574 грн.; картридж для Epson Stylus Photo P50 – 558 грн.; відновлення картриджу для MF217W – 570 грн.

$$Z_{M3} = 574 + 558 + 570 = 1702 \text{ грн.}$$

$$Z_M = (105 + 492 + 1702) / 40 = 57 \text{ грн.}$$

Визначимо витрати на освоєння нових мов програмування або операційних систем за нормативом ($H_n = 15\%$) від основної зарплати виконавців

$$O_n = Z_o \cdot H_n \cdot 0,01, \quad (7.19)$$

де H_n – норматив витрат на освоєння нових мов програмування, %

$$O_n = 2090 \cdot 15 \cdot 0,01 = 314 \text{ грн}$$

Визначимо витрати на амортизацію основних фондів з урахуванням загальної річної суми амортизаційних відрахувань та кількості екземплярів програм ($N_e = 40$ прим.)

$$A_m = \frac{A_p \cdot N_{mic}}{N_e \cdot 12}, \quad (7.20)$$

де A_p – загальна річна сума амортизаційних відрахувань, грн.

$$A_m = 140140 \cdot 3 / (40 \cdot 12) = 876 \text{ грн}$$

Повна собівартість ПЗ визначається як сума витрат за попередніми статтями калькуляції

$$C_n = Z_o + Z_d + C_{oc} + \Gamma_{ocn} + Z_m + O_n + A_m. \quad (7.21)$$

					ВКРМ-122.23.0064.00.00.ПЗ	Арк.
Вим.	Арк.	№ докум.	Підпис	Дата		78

$$C_n = 2090 + 209 + 506 + 314 + 57 + 314 + 876 = 4366 \text{ грн.}$$

Визначимо плановий прибуток за рівнем рентабельності (P_p) програмної продукції, яка залежить від складності програми та ступеня новизни задачі.

Для даного програмного забезпечення рівень рентабельності складає 55%

$$P_p = 0,01 \cdot P_n \cdot C_n, \quad (7.22)$$

де P_n – рівень рентабельності, %

$$P_p = 0,01 \cdot 55 \cdot 4366 = 2401 \text{ грн.}$$

Величини ціна підприємства, податок на додану вартість, відпускна ціна програмної продукції визначаються за формулами, приведеними в таблиці 7.9

Таблиця 7.9 – Нормативна калькуляція собівартості розробки програмного забезпечення задачі

Найменування статей витрат	Позначення	Величина, грн.
1. Основна зарплата виконавців	Z_o	2090
2. Додаткова зарплата виконавців	Z_d	209
3. Відрахування на соціальні потреби	C_{oc}	506
4. Загальногосподарські витрати	Γ_{ocn}	314
5. Витрати на матеріали	Z_M	57
6. Освоєння нових операційних систем, мов програмування	O_n	314
7. Амортизація основних фондів	A_M	876
8. Повна собівартість програмного забезпечення	C_n	4366
9. Плановий прибуток	P_p	2401
10. Ціна підприємства $C_n = C_n + P_p$	C_n	6767
11. Податок на додану вартість $ПДВ = 0.01 \cdot H_{oc} \cdot C_n$	$ПДВ$	1353,4
12. Відпускна ціна програмної продукції $C = C_n + ПДВ$	C	9168

Витрати на оплату праці:

$$Z_p = T_p \cdot Z_2 \cdot (1 + 0,01 \cdot H_q) \cdot (1 + 0,01 \cdot H_c), \quad (7.23)$$

де T_p – кількість годин обслуговування системи за рік, год.; Z_2 – заробітна плата обслуговуючого персоналу, грн/год.

Після купівлі нового програмного забезпечення кількість профілактичних годин робіт зменшилася з 80 годин на рік до 20 годин на рік, тому витрати на технічне обслуговування зменшилися з

$$Z_{p \text{ баз}} = 80 \cdot 160 \cdot 1,1 \cdot 1,22 = 17178 \text{ грн.}$$

до

$$Z_{p \text{ нов}} = 20 \cdot 160 \cdot 1,1 \cdot 1,22 = 4294 \text{ грн.}$$

Витрати на електроенергію визначаються з урахуванням спожитої потужності ($P_{ел}$) в кіловатах, часу експлуатації технічних засобів (T_p) в годинах та ціни однієї кіловат-години ($C_{ел}$).

$$Z_{ел} = P_{ел} \cdot T_p \cdot C_{ел}. \quad (7.24)$$

$$Z_{ел \text{ баз}} = 0,475 \cdot 7200 \cdot 3,8 = 12996 \text{ грн}$$

$$Z_{ел \text{ нов}} = 0,475 \cdot 6900 \cdot 3,8 = 12455 \text{ грн}$$

Витрати по амортизації визначаються на основі норм амортизаційних відрахувань, вартості програмної продукції і основних фондів. Для розрахунку складаємо таблицю 7.12.

Таблиця 7.12 – Розрахунок амортизаційних відрахувань

Групи основних фондів	Норма амортизації %	Балансова вартість, грн., за варіантами		Сума відрахувань, грн., за варіантами	
		Базовий	Новий	Базовий	Новий
Програмна продукція	50	–	9168	–	4584
Всього відрахувань	-	–	9168	–	4584

$$T_{cn} = \frac{K_n - K_0}{I_0 - I_n} \quad (7.28)$$

$$T_{cn} = \frac{9168}{30174 - 21333} = 1 \text{ рік}$$

Показники економічної ефективності програмної продукції зводимо до таблиці 7.13.

Таблиця 7.13 – Показники економічної ефективності програмної продукції

Найменування показників	Одиниця виміру	Величина
1. Кількість екземплярів програми	Прим.	40
2. Повна собівартість розробленої програми	Грн	4366
3. Ціна розробленої програми	Грн.	6767
4. Плановий прибуток від реалізації розробленої програми	Грн.	2401
5. Рентабельність програмної продукції	%	55
6. Об'єм додаткових капітальних вкладень у виробника програмної продукції	Грн.	1596075
7. Загальний прибуток від реалізації програмної продукції	Грн.	96040
8. Величина економічного ефекту при виготовленні програмної продукції	Грн.	61005
9. Період окупності додаткових капітальних вкладень у виробника програмної продукції	Років.	0,5
10. Об'єм додаткових капітальних вкладень у споживача програмної продукції	Грн.	9168
11. Величина економічного ефекту у користувача програмної продукції	Грн.	4257
12. Період окупності додаткових капітальних вкладень у користувача програмної продукції	Років	1

7.9 Висновки

Розроблена програма економічно вигідна. За рахунок впровадження програмного забезпечення досягається скорочення часу обробки інформації, підвищується культура праці, підвищення якості приймаючих управлінських рішень.

КБПЗ-2023

					VKPM-122.23.0064.00.00.ПЗ	Арк.
Вим.	Арк.	№ докум.	Підпис	Дата		84

8 ЗАХОДИ З ОХОРОНИ ПРАЦІ ТА ТЕХНІКИ БЕЗПЕКИ

8.1 Вступ

Програмісти у процесі роботи отримують негативний вплив на органи зору, а також мають значну розумову напругу і нервово-емоційне навантаження. Руки (м'язи рук та суглоби пальців) при роботі з клавіатурою мають теж істотне навантаження. До шкідливих факторів, які впливають на робітників галузі інформаційних технологій спеціалісти відносять високочастотні електромагнітні коливання роботи апаратної частини ЕОМ та виділення шкідливих газів. Ці шкідливі фактори можуть привести до професійних захворювань. До недоліків умов праці користувачів комп'ютерної техніки можна віднести:

- недостатню площу і обсяг виробничого приміщення;
- недотримання вимог, мікроклімату на робочих місцях;
- низький рівень освітленості у приміщеннях і на робочих поверхнях апаратури;
- підвищений рівень низькочастотних магнітних полів від моніторів;
- порушення вимог організації робочих місць;
- недотримання вимог до режимам праці та відпочинку;
- надмірне виробничу навантаження працівників;
- відсутність навичок зниження впливу психоемоційного напруги.

Відповідно до ст.14 Закону «Про охорони праці» [3] на роботодавця покладено обов'язок забезпечити: безпеку працівників при експлуатації устаткування; застосування коштів індивідуальної захисту працівників; відповідні вимоги охорони праці, умови праці в кожному робоче місце; дотримання режиму праці та відпочинку працівників; навчання безпечним методам і прийомам виконання; інструктаж з охорони праці; організацію контролю над станом умов праці в робочих місць; проведення атестації робочих місць в умовах праці.

					ВКРМ-122.23.0064.00.00.ПЗ	Арк.
Вим.	Арк.	№ докум.	Підпис	Дата		85

Максимально зменшити кількість шкідливих впливів на людину при високій продуктивності праці, створити комфортні умови для роботи людей – ось одна з головних задач охорони праці [5].

8.2 Шкідливі і небезпечні фактори при роботі з комп'ютером

Електронно-обчислювальні машини (ЕОМ) та інше обладнання є джерелами небезпеки ураження електричним струмом. Так як робота програміста характеризується істотним зоровим навантаженням, то вимагає належного освітлення. У приміщенні, в якому працюють люди (у т.ч. програмісти) необхідно створити належний мікроклімат, параметри якого регламентуються, Державними санітарними правилами і нормами, зокрема ДСанПіН 3.3.2.007-98 [2].

Шкідливими факторами при роботі з персональним комп'ютером є неонізуюче випромінювання промислової частоти, збільшене нервово-емоційне навантаження на оператора, збільшення навантаження на органи зору та дрібні стереостатичні рухи кінцівок.

Ці фактори можуть викликати у працівника певні розлади здоров'я, зокрема підвищення артеріального тиску, кон'юктивіти, тендовагініти ті інші захворювання.

Комп'ютер, як і будь-який електричний прилад, особливо при його неправильному підключенні, може бути джерелом ураження оператора електричним струмом. Саме тому всі працівники, які працюють з персональним комп'ютером, повинні мати першу(або другу) групу допуску з електробезпеки.

Через наявність зазначених факторів працівники, які працюють з персональними комп'ютерами, підлягають попередньому та періодичному медичному огляду згідно з пунктом 6.2.3 додатку 4 до наказу Міністерства охорони здоров'я України “Про затвердження Порядку проведення медичних оглядів працівників певних категорій” від 21 травня 2007 року №246 [8].

					ВКРМ-122.23.0064.00.00.ПЗ	Арк.
Вим.	Арк.	№ докум.	Підпис	Дата		86

8.3 Аналіз умов праці на робочому місці фахівця

Робота програміста пов'язана з постійною роботою на ЕОМ, яка відбувається у кімнаті розмірами 4,4 м×6,2 м×2,9 м. Одна з її більших стін має шість двостулкових вікон, розмірами 2 м×1,8 м, які виходять на північний захід. Вікна розташовані рівномірно по всій довжині стіни. Підлога в кімнаті покрита леноліумом, всі стіни пофарбовані світло оранжевого кольору до висоти 2,8 м, а далі підвісна стеля. Уздовж стін розташовані комп'ютерні столи. На них розташовуються 2 персональні комп'ютери й інша оргтехніка (сканер принтери, телефони й ксерокс). Столи мають пластикове покриття. Габарити їхньої робочої поверхні 1255 мм×845 мм. Висота столів 760 мм. Висота стільців від рівня підлоги становить 430 мм.

Згідно НПАОП 0.00 – 1.28 – 10 «Правила охорони праці під час електронно-обчислювальних машин» площа повинна задовольняти умові – не менш 6 м² на одне робоче місце. Кратність повітрообміну в приміщенні вузла також регламентується ДСанПіН 3.3.2.007-98 [2], вона повинна становити 20 м³/годину на одне місце. Виконання даних вимог забезпечить підтримку в приміщенні вузла оптимального значення вологості й складу повітря.

Відповідно ДБН В.2.5 – 28 – 2006 [1] роботу програміста можна віднести до роботи з малою точністю (найменший розмір об'єкта розрізнення від 1 до 5 мм) V-го розряду зорової роботи, з великою контрастністю об'єкта розрізнення (символів на екрані дисплея), з темним тлом (під розряд зорової роботи В). Приміщення вузла можна віднести до 1-ої групи приміщень, у яких проводиться розрізнення об'єктів зорової роботи при фіксованому напрямку лінії зору того, що працює на робочу поверхню. Для такого типу приміщень і розряду зорової роботи нормоване значення коефіцієнта природної освітленості (КПО) робочої поверхні (при сполученому висвітленні), повинен становити 0,5%, освітленість при штучному висвітленні повинна становити 300 лк.

					ВКРМ-122.23.0064.00.00.ПЗ	Арк.
Вим.	Арк.	№ докум.	Підпис	Дата		87

про відповідність рівня звуку в приміщенні вимогам нормативних актів. Ергономічні вимоги до робочого місця працюючого з ВДТ ЕОМ і ПЕОМ нормуються НПАОП 0.00 – 1.28 – 10. Оптимальне положення тіла того, що працює забезпечується відповідною конструкцією робочого місця, а також регуляцією висоти робочої поверхні, сидіння, простори й підставки для ніг. Даного місця програміста не мають регульованих параметрів. Відмінності реальних параметрів робочого місця від параметрів відповідні вимоги нормативного акту дані в таблиці 8.2.

Таблиця 8.2 – Відмінності реальних параметрів робочого місця від параметрів відповідні вимоги нормативного акту

Ріст людини, см	Висота робочої поверхні мм,	Висота простору для ніг, мм	Висота робочого сидіння, мм
175	765(740)	655(600)	450(440)

У дужках зазначені реальні значення параметрів робочого місця; всі вони не відповідають параметрам, зазначеним у стандарті.

Параметри мікроклімату можуть мінятися в широких межах, тоді як необхідною умовою життєдіяльності людини є підтримка сталості температури тіла завдяки властивості терморегуляції, тобто здатності організму регулювати віддачу тепла в навколишнє середовище.

У приміщеннях, де встановлені комп'ютери, повинні дотримуватися певні параметри мікроклімату. У санітарних нормах ДСН 3.3.6.042 – 99 [4] встановлені величини параметрів мікроклімату, що створюють комфортні умови. Ці норми встановлюються в залежності від пори року, характеру трудового процесу і характеру виробничого приміщення (див. табл. 8.3).

Таблиця 8.3 – Параметри мікроклімату для приміщень, де встановлені комп'ютери

Період року	Параметр мікроклімату	Величина
Холодний	Температура повітря в приміщенні	22 – 24°C
	Відносна вологість	40 – 60%
	Швидкість руху повітря	до 0,1 м/с
Теплий	Температура повітря в приміщенні	23 – 25°C
	Відносна вологість	40 ... 60%
	Швидкість руху повітря	0,1 ... 0,2 м / с

8.4 Розробка заходів з умов поліпшення охорони праці

Провівши аналіз умов праці в розглянутому вище приміщенні, було отримано наступні результати:

- значення мікроклімату в приміщенні не перевищує норму;
- розрахунки розміру робочого місця на одного працівника відповідають нормі;
- рівень шуму в приміщенні не становить вище норми.

З вище перелічених результатів можна зробити висновок, що основний вплив на продуктивність ІТ-спеціалістів є його психологічний стан. Тому є доцільним зменшити рівень стресу на робочому місці.

Рекомендовані наступні заходи: За потреби особливої концентрації уваги під час виконання робіт суміжні робочі місця операторів необхідно відділяти одне від одного перегородками висотою 1,5 – 2м. Конструкція робочого місця користувача персонального комп'ютера має забезпечити підтримання оптимальної робочої пози офісного працівника. Конструкція робочого столу має відповідати сучасним вимогам ергономіки і забезпечувати оптимальне розміщення на робочій поверхні використовуваного обладнання (дисплея, клавіатури, принтера) і документів. Висота робочої поверхні робочого столу має

регулюватися в межах 680-800 мм, а ширина і глибина – забезпечувати можливість виконання операцій у зоні досяжності моторного поля (рекомендовані розміри: 600-1400мм, глибина – 800-1000мм). Робочий стіл повинен мати простір для ніг заввишки не менше ніж 600 мм, завширшки не менше ніж 500 мм, завглибшки (на рівні колін) не менше ніж 450 мм, на рівні простягнутої ноги не менше ніж 650 мм. Робочий стілець має бути підйомно-поворотним, регульованим за висотою, з кутом і нахилу сидіння та спинки і за відстанню від спинки до переднього краю сидіння поверхня сидіння має бути плоскою, передній край – заокругленим [7].

8.5 Розрахункова частина

Для захисного штучного заземлення застосовуються вертикальні електроди: металевий куток 80·80·8 мм., (згідно з ДСТУ 2251:2018 «Кутики сталеві гарячекатані рівнополічні. Сортамент») довжиною $L=1,6$ м., та горизонтальний електрод – металева полоса з перетином 60·5 мм. Напруга – 220/380 В. Розрахункова схема розташування заземлюючих електродів – у ряд.

Розрахунок проведемо за допустимим опором розтіканню струму заземлювача.

Початкові дані для розрахунку захисного заземлення: тип верхнього шару ґрунта – чорнозем, нижнього шару ґрунта – глина (питомий опір $\rho_2 = 40$ Ом·м). Умовна товщина верхнього шару ґрунта: $H=0,5$ м. Відстань між вертикальними заземлювачами (електродами) $A=1,6$ м. Глибина закладення горизонтального контура заземлення $t=0,6$ м. Опір заземлювача, який нормується: $R_{3H} = 4$ Ом. Необхідно визначити необхідну кількість вертикальних заземлювачів та довжину полоси (горизонтального заземлювача).

Розрахунок

Відстань від центра вертикального заземлювача до поверхні землі:

$$T=t+L/2=0,6 + 1,6/2=1,4 \text{ м.}$$

					ВКРМ-122.23.0064.00.00.ПЗ	Арк.
Вим.	Арк.	№ докум.	Підпис	Дата		91

2. Державні санітарні правила і норми роботи з візуальними дисплейними терміналами електронно-обчислювальних машин: ДСанПІН 3.3.2-007-98. – Режим доступу до ресурсу: <https://zakon.rada.gov.ua/rada/show/v0007282-98> (дата звернення 19.10.22).

3. Закон України «Про охорону праці» від 14.10.1992 р. № 2694-ХІІ. – Режим доступу до ресурсу: <https://zakon.rada.gov.ua/laws/show/2694-12> (дата звернення 19.10.22).

4. Постанова № 42 від 01.12.1999 Головного державного санітарного лікаря України «Санітарні норми мікроклімату виробничих приміщень ДСН 3.3.6.042-99. – Режим доступу до ресурсу: <https://zakon.rada.gov.ua/rada/show/va042282-99> (дата звернення 19.09.22).

5. Методичні рекомендації до виконання розділу "Заходи з охорони праці та техніки безпеки" випускної кваліфікаційної роботи за другим (магістерським) рівнем вищої освіти для здобувачів вищої освіти спеціальностей 123 "Комп'ютерна інженерія" та 122 "Комп'ютерні науки" / М-во освіти і науки України, Центральноукраїн. нац. техн. ун-т, каф. кібербезпеки та програм. забезпечення; [укл. О.В. Оришака, К.М. Марченко]. – Кропивницький: ЦНТУ, 2022. – 19 с. [Електронний ресурс]. – Режим доступу: <http://dspace.kntu.kr.ua/jspui/handle/123456789/12240> (дата звернення 19.09.22).

6. Охорона праці. Ч. 1. Захисне заземлення : метод. вказ. до викон. розрахунків з викор. персон. ЕОМ IBM сумісного типу / Кіровоград. ін-т с.-г. машинобуд.; [укл. О. В. Оришака, Є. К. Солових, В. О. Оришака]. – Кіровоград : КІСМ, 1997. – 20 с. – Режим доступу: <http://dspace.kntu.kr.ua/jspui/handle/123456789/4358> (дата звернення 19.09.22).

7. Сакулин В.П., Шептовицкий В.М. Безопасность труда при монтаже и эксплуатации электроустановок / В.П.Сакулин, В.М.Шептовицкий. – Л. : "Колос", 1973. – 238 с.

					ВКРМ-122.23.0064.00.00.ПЗ	Арк.
Вим.	Арк.	№ докум.	Підпис	Дата		94

9 ОСНОВНІ ВИСНОВКИ

Програмне забезпечення, створене в результаті виконання випускної кваліфікаційної роботи за другим (магістерським) рівнем вищої освіти, призначено для системи стиснення растрових зображень без втрати якості.

В межах України в недостатній мірі представлені вітчизняні розробки в цій області.

У випускній кваліфікаційній роботі за другим (магістерським) рівнем вищої освіти наведені теоретичне узагальнення й рішення наукового завдання дослідження методів стиснення растрових зображень без втрати якості.

Рішення даного завдання полягало у вирішенні наступних задач:

– Був проведений огляд існуючих систем стиснення растрових зображень без втрати якості.

– Досліджена система стиснення растрових зображень без втрати якості.

– На основі отриманих результатів досліджень створена програмна реалізація системи стиснення растрових зображень без втрати якості.

Розроблені під час виконання випускної кваліфікаційної роботи за другим (магістерським) рівнем вищої освіти алгоритми дозволяють успішно вирішувати завдання стиснення растрових зображень без втрати якості.

Проведено аналіз предметної галузі в ході якого були виявлені об'єкти, взаємодія яких носить істотний характер для функціональної діяльності предметної галузі, і їхні основні характеристики; побудована алгоритм і вибраний середовище розробки.

Розроблене програмне забезпечення має простий, дружній та зручний інтерфейс користувача, що забезпечує легкість у освоєнні роботи програмного продукту, зручність у використанні, і не потребує особливих спеціальних знань.

					ВКРМ-122.23.0064.00.00.ПЗ	Арк.
Вим.	Арк.	№ докум.	Підпис	Дата		95

При створенні програмного забезпечення було використано об'єктно-орієнтований підхід, що відповідає сучасним тенденціям у галузі розробки комерційних програмних систем.

Програма реалізована на мові високого рівня Delphi 10.4. Дана мова програмування дозволяє найбільш ефективно обробляти дані. Це дозволило мінімізувати строк розробки програмного забезпечення, і, як слід, зменшити витрати на його розробку. Запропоноване програмне забезпечення ділиться на загальне програмне забезпечення, що поставляється із засобами обчислювальної техніки й спеціальне програмне забезпечення, що спеціально розроблене для даної конкретної системи й включає програми, що реалізують її функції.

Програма призначена для виконання під управлінням багатозадачної операційної системи Windows 10/11.

Даються необхідні рекомендації з установки розробленого програмного забезпечення.

Для підвищення рівня безпеки запропоновано застосовувати алгоритм ДСТУ 9041:2020.

В цілому створене програмне забезпечення підтверджує правильність використаних проектних рішень та повністю відповідає вимогам технічного завдання. Створене програмне забезпечення має потенційну можливість для подальшого вдосконалення і застосування у різних галузях.

Розроблена програма має реальний економічний ефект від її впровадження у виробництво у сумі 4257 грн. З урахуванням вартості розробки програми та обладнання, строк окуплення становить 1 роки.

					ВКРМ-122.23.0064.00.00.ПЗ	Арк.
Вим.	Арк.	№ докум.	Підпис	Дата		96

СПИСОК ВИКОРИСТАНИХ ДЖЕРЕЛ

1. Мікіньов В.І. Дослідження та програмна реалізація системи стиснення растрових зображень без втрати якості // Збірник праць молодих науковців ЦНТУ. – Вип. 14. – Кропивницький: ЦНТУ, 2023.
2. M.F. Barnsley, Fractals Everywhere. London: Academic Press Inc., 1988.
3. A.E. Jacquin, “Fractal image coding based on a theory of iterated contractive image transformations,” in Proceedings of SPIE Visual Communications and Image Processing '90, vol. 1360, pp. 227-239 1990.
4. Михайло Пічугін, Іван Канкін, Володимир Воротніков Комп'ютерна графіка. Навчальний посібник / Центр навчальної літератури 346 с. 2019р.
5. Маценко В.Г. Комп'ютерна графіка: Навчальний посібник. – Чернівці: Рута, 2009 – 343 с.
6. Інженерна комп'ютерна графіка: підручник / В.В. Проців [та ін.] / М-во освіти і науки України, Нац. гірн. унт-т. – Дніпро: НГУ, 2017. – 247 с.
7. Проців В.В. Прикладна комп'ютерна графіка [Текст]: Навч. посібник / В.В. Проців, К.А. Зіборов, К.М. Бас, Г.К. Ванжа; М-во освіти і наук, Нац. гірн. ун-т. – Д.: НГУ, 2016. – 187 с.
8. Kopf, Johannes and Lischinski, Dani. Depixelizing Pixel Art (англ.) // ACM Trans. Graph.. – 2011. – Vol. 30, no. 4. – P. 99:1--99:8.
9. Giachetti, Andrea and Asuni, Nicola. Real-Time Artifact-Free Image Upscaling (англ.) // Trans. Img. Proc.. – 2011. – Vol. 20, no. 10. – P. 2760—2768.
10. Smirnov, O., Odarchenko, R., Smirnova, T., Bondar, S., Volosheniuk, D. «Optimal Structure Construction of Private 5G Network for the Needs of Enterprises». Lecture Notes on Data Engineering and Communications Technologies, 2023, 178, pp. 208–223.

					ВКРМ-122.23.0064.00.00.ПЗ	Арк.
Вим.	Арк.	№ докум.	Підпис	Дата		97

11. Smirnov, O., Neskorođieva, T., Fedorov, E., Rudakov, K., Neskorođieva, A. «Method Detection Audit Data Anomalies on Basis Restricted Cauchy Machine» CEUR Workshop Proceedings, Volume 3187, 2022,

12. Smirnov O., Smirnova T., Anas M. Al-Oraiqat, Drieiev O., Polishchuk L., Sheroz Khan, Yassin M. Y. Hasan, Aladdein M. Amro, Hazim S. AlRawashdeh «Method for Determining Treated Metal Surface Quality Using Computer Vision Technology». Sensors (Basel, Switzerland) Volume 22, Issue 16, 6223, 2022.

13. Smirnov O., Kuznetsov A., Kryvinska N., Kiian A., Kuznetsova K. «Full Non-Binary Constant-Weight Codes». SN Computer Science, Vol 2, 337, 2021. <https://doi.org/10.1007/s42979-021-00739-w>

14. Smirnov O., Kuznetsov A., Zhora V., Onikiychuk A., Pieshkova O. «Hiding Messages in Audio Files Using Direct Spread Spectrum». 11th IEEE International Conference on Intelligent Data Acquisition and Advanced Computing Systems: Technology and Applications, IDAACS 2021, Cracow, Poland, 22-25 September 2021. P. 414-418.

15. Smirnov O., Kuznetsov A., Lokotkova I., Kuznetsova T., Florov S., Lebid O. «Using Orthogonal Signals to Hide Information in Images». 4 IEEE International Conference on Advanced Information and Communication Technologies (AICT) – 2021, Lviv, Ukraine, September 21-25, 2021. P. 255-260.

16. Smirnov, O., Kuznetsov, A., Potii, O., Poluyanenko, N., Stelnyk, I., Mialkovsky, D. «Combining and filtering functions in the framework of nonlinear-feedback shift register». International Journal of Computing; 2020, Volume 19, Issue 2 – Research Institute for Intelligent Computer Systems – 2020. – P. 247-256.

17. Smirnov O., Kuznetsov A., Kiian A., Kuznetsova T. «Non-binary constant weight coding technique». CEUR Workshop Proceedings. Volume 2740, 2020, Pages 102-114.

18. Smirnov O., Alimseitova Zh., Adranova A., Akhmetov B., Lakhno V., Zhilkishbayeva G. «Models and algorithms for ensuring functional stability and

cybersecurity of virtual cloud resources». Journal of theoretical and applied information technology Vol.98. No 21, 2020, P. 3334-3346.

19. Smirnov O., Kuznetsov A., Kovalchuk D., Kuznetsova T. «New technique for data hiding in cover images using adaptively generated pseudorandom sequences». CEUR Workshop Proceedings Volume 2654, 2020, Pages 1-14.

20. Smirnov O., Kuznetsov A., Onikiychuk A., Makushenko T., Anisimova O., Arischenko A. «Adaptive pseudo-random sequence generation for spread spectrum image steganography». 2020 IEEE 11th International Conference on Dependable Systems, Services and Technologies (DESSERT), Ukraine, Kyiv, May 14-18. 2020. P. 161-165.

21. Smirnov O., Kuznetsov A., Kiian A., Cherep A., Kanabekova M., Chepurko I. «Testing of code-based pseudorandom number generators for post-quantum application». 2020 IEEE 11th International Conference on Dependable Systems, Services and Technologies (DESSERT), Ukraine, Kyiv, May 14-18. 2020. P. 172-177.

22. Smirnov O., Kuznetsov A., Pushkar'ov A., Serhiienko R., Babenko V., Kuznetsova T., «Representation of Cascade Codes in the Frequency Domain». In: Radivilova T., Ageyev D., Kryvinska N. (eds) Data-Centric Business and Applications. Lecture Notes on Data Engineering and Communications Technologies, vol 48. Springer, Cham. 2021. pp 557-587.

23. Smirnov, O., Drieieva, H., Drieiev, O., Polishchuk, Y., Brzhanov, R., Aleksander, M. «Method of fractal traffic generation by a model of generator on the graph». CEUR Workshop Proceedings Volume 2616, 2020, Pages 366-379.

24. Smirnov, O., Drieieva, H., Drieiev, O., Simakhin, V., Bondar, S., Odarchenko, R. «Managing multifractal properties of the binary sequence generated with the Markov chains», CEUR Workshop Proceedings Volume 2608, 2020, Pages 633-645.

25. Smirnov, O., Kuznetsov, A., Gorbacheva, L., Babenko, V., «Hiding data in images using a pseudo-random sequence», CEUR Workshop Proceedings Volume 2608, 2020, Pages 646-660.

26. Zhurakovskiy, B., Tsopa, N., Batrak, Y., Odarchenko, R., Smirnova, T «Comparative analysis of modern formats of lossy audio compression». Workshop Proceedings, 2020, 2654, стр. 315-327.

27. Smirnov O. Kuznetsov A., Zaichenko Yu., Pastukhov M., Oleshko O., Kuznetsova K., «Formation of Discrete Signals with Special Correlation Properties». International Conference on Information and Telecommunication Technologies and Radio Electronics, UkrMiCo 2019; Odessa; Ukraine; 9-13 September 2019. P.22-28.

28. Smirnov, O., Kuznetsov, A., Kolovanova, I., Kuznetsova, T., «Noise immunity of the algebraic geometric codes». International Journal of Computing; 2019, Volume 18, Issue 4 – Research Institute for Intelligent Computer Systems – 2019. – P. 393-407.

29. Smirnov, O., Kuznetsov, A., Reshetniak, O., Ivko, N., Katkova, T., Kuznetsova, T., «Generators of Pseudorandom Sequence with Multilevel Function of Correlation». 2019 IEEE International Scientific-Practical Conference Problems of Infocommunications, Science and Technology (PIC S&T), Kyiv, Ukraine, 8 – 11 October 2019 . P.517-522.

30. Smirnov, O., Krasnobayev, V., Yanko, A., Kuznetsova, T. «Methods of nulling numbers in the system of residual classes». CEUR Workshop Proceedings, Vol 2588, P. 90-106, 2019.

31. Smirnov, O., Kuznetsov, A., Kovalchuk, D., Averchev, A., Pastukhov, M., Kuznetsova, K., «Formation of Pseudorandom Sequences with Special Correlation Properties», 2019 3rd International Conference on Advanced Information and Communications Technologies, AICT -2019/ Lviv, Ukraine, 2-6 July, 2019, P. 395-399.

32. Smirnov, O., Kuznetsov, A., Kavun, S., Babenko, B., Nakisko, O., Kuznetsova, K., «Malware Correlation Monitoring in Computer Networks of Promising

Smart Grids», 2019 IEEE 6th International Conference On Energy Smart Systems (2019 IEEE ESS), Kyiv, Ukraine April 17-19, 2019 P. 347-352.

33. Smirnov, O., Kuznetsov, A., Kovalchuk, D., Pastukhov, M., Kuznetsova, K., Prokopovych-Tkachenko, D., «Discrete Signals with Special Correlation Properties», CEUR Workshop Proceedings Volume 2353, CEUR Workshop Proceedings 2019, Pages 618-629.

34. Smirnov A.A., Kuznetsov A.A., Danilenko D.A., Berezovsky A., «The statistical analysis of a network traffic for the intrusion detection and prevention systems», Telecommunications and Radio Engineering. – Volume 74, Issue 1. – Begel House Inc. – 2015. – P. 61-78.

35. Smirnov O., Kuznetsov A., Kovalchuk D., Kuznetsova T. «New Technique for Hiding Data in Cover Images Using Adaptively Generated Pseudorandom Sequences». CEUR Workshop Proceedings Volume 2732, 2020, Pages 214-227.

36. Т.В. Смірнова, О.М. Дреєв, О.А. Смірнов «Хмарна інформаційна система оцінювання шорсткості з використанням дискретного частотного аналізу макروفотografій». IV міжнародна науково-практична конференція «Інформаційна безпека та комп'ютерні технології», м. Кропивницький. 15-16 квітня 2021р. – Кропивницький: ЦНТУ. – 2021. – С. 30.

37. О.А. Смірнов, П.С. Усік, «Дослідження перспектив використання технологічних рішень в мережах 5G» у Кібербезпека та інформаційні технології: монографія. – Х. : ТОВ «ДІСА ПЛЮС», 2020.С. 122-135.

38. О.А.Смірнов, Т.В.Смірнова, Л.І. Поліщук, К.О. Буравченко, А.О.Макевнін, «Дослідження хмарних технологій як сервісів», Кібербезпека: освіта, наука, техніка. № 3(7). С. 43-62. 2020.

39. Смірнов О.А., Дреєва Г.М., Дреєв О.М., Смірнова Т.В. «Фрактальний аналіз генератора самоподібного трафіку на основі ланцюга Маркова». Центральнoукраїнський науковий вісник. Технічні науки. № 2(33). с. 161-172, 2019.

					ВКРМ-122.23.0064.00.00.ПЗ	Арк.
Вим.	Арк.	№ докум.	Підпис	Дата		101

40. О. Смірнов, Є. Деменко, О. Онікійчук, А. Арищенко, Л. Горбачова, «Формування псевдовипадкових послідовностей для приховування даних в зображеннях» Комп'ютерні науки та кібербезпека. № 4. С. 30-37. 2019.

41. Смірнов О.А., Коноплицька-Слободенюк О.К., Смірнов С.А., Буравченко К.О., Смірнова Т.В. Поліщук Л.І. Проектування комп'ютерних систем та мереж. Навчальний посібник – Кропивницький: вид. Лисенко В.Ф. 2019. – 264 с.

42. Smirnov, O., Kuznetsov, A., Kuznetsova., K. Synthesis of Discrete Signals with Improved Correlation Properties. Монографія: In.: ISCI'2019: Information Security in Critical Infrastructures. Collective monograph. Edited by Ivan D. Gorbenko and Alexandr A. Kuznetsov, ASC Academic Publishing, USA, 2019, pp. 281-299. – ISBN: 978-0-9989826-8-7 (Hardback), ISBN: 978-0-9989826-9-4 (Ebook).

43. Смірнов О.А., Дреєва Г.М. Метод генерування фрактального трафіку за допомогою моделі генератора на графі. Монографія: Інформаційна безпека та інформаційні технології : монографія / за заг. ред. В. С. Пономаренка. – Х. : Вид. Рожко С.Г. 2019. С. 123-139

44. Дреєва Г.М., Смірнов О.А., Дреєв О.М. Метод генерування фрактальноподібної числової послідовності на основі скінченного автомату для моделювання трафіку у мережі. Центральноукраїнський науковий вісник. Технічні науки. № 1(32). с. 173-183, 2019.

45. Смірнов О.А., Кавун С.В., Коваленко О.В., Дреєв О.М. Мережні інформаційні технології. Навчальний посібник – Кіровоград: РВЛ КНТУ, 2016. – 159 с.

46. Смірнов О.А., Смірнов С.А. Дідик А.К., Дреєв О.М. Моделі системи нейромережових експертів безпечної маршрутизації у хмарних антивірусних системах. Збірник наукових праць "Системи обробки інформації". – Випуск 3 (140). – Х.: ХУПС – 2016. – С. 36-39.

					ВКРМ-122.23.0064.00.00.ПЗ	Арк.
Вим.	Арк.	№ докум.	Підпис	Дата		102

47. Смірнов О.А., Кавун С.В., Коваленко О.В., Доренський О.П., Дреєв О.М., Вялкова В.І. Комп'ютерні мережі. Навчальний посібник – Кіровоград: РВЛ КНТУ, 2016. – 233 с.

48. Смірнов О.А., Дреєв О.М. Порівняння бітових щільностей при використанні різних методів кодування інформації. Збірник наукових праць "Системи обробки інформації". – Випуск 2 (118). т.2. – Х.: ХУПС – 2014. – С. 64-67

49. Смірнов О.А., Дреєв О.М. Порівняння бітових щільностей при використанні різних методів кодування інформації. Збірник тез VI міжнародної науково-практичної конференції "Проблеми та перспективи розвитку ІТ-індустрії". м. Харків. 17-18 квітня 2014р. – Харків: ХНЄУ. – 2014. – С. 240.

50. Смірнов О.А., Коваленко О.В., Кожанова А.С., Лешко О.Л., Константинова Л.В. Основи системного програмування. Навчальний посібник для студентів вищих навчальних закладів напрямів підготовки 8.050102 «Комп'ютерна інженерія». За ред. Коваленка О.В., Гриф "Навчальний посібник" надано у відповідності з листом Міністерства освіти і науки України від 26.02.2013 року № 1/11-4368. – Кіровоград: КНТУ 2013. – 257с.

51. Смірнов О.А., Дреєв О.М., Доренський О.П. «Дослідження впливу ступеня стиснення зображень на оперативність їх доставки у телекомунікаційній системі. Збірник наукових праць "Системи обробки інформації". – Випуск 8(115). – Х.: ХУПС – 2013. – С. 234-239.

52. Смірнов О.А., Доренський О.П., Дреєв О.М. Аналіз процесів стиснення та відновлення зображень на основі цифрових методів. Наука і техніка Повітряних сил Збройних Сил України. – Випуск 3(12). – Х.: ХУПС. – 2013. – С.122-127.

					ВКРМ-122.23.0064.00.00.ПЗ	Арк.
Вим.	Арк.	№ докум.	Підпис	Дата		103

Додаток А
(обов'язковий)

Технічне завдання

Зміст

1 Найменування та область застосування.....	2
2 Підстава для розробки.....	2
3 Мета та призначення розробки.....	2
4 Джерела розробки.....	2
5 Технічні вимоги.....	2
5.1 Вміст проекту.....	2
5.2 Показники призначення.....	3
5.3 Вимоги до функціональних характеристик.....	3
5.4 Вимоги до архітектури.....	3
5.5 Вимоги до надійності.....	3
5.6 Умови експлуатації.....	4
5.7 Вимоги до складу та параметрів технічних засобів.....	4
5.8 Вимоги до інформаційної і програмної сумісності.....	4
5.8.1 Обладнання.....	4
5.8.2 Мова програмування.....	4
5.8.3 Вхідні дані.....	5
5.8.4 Вихідні дані.....	5
6 Вимоги до програмної документації.....	5
7 Економічні вимоги.....	5
8 Вимоги щодо охорони праці.....	5
9 Перелік документів, що розробляються.....	6
10 Етапи розробки.....	6
11 Порядок контролю та приймання.....	6

					ВКРМ-122.23.0064.00.00.ТЗ			
Вим.	Арк.	№ документа	Підпис	Дата				
Розробив	Мікіньов В.І.				<i>Дослідження та програмна реалізація системи стиснення растрових зображень без втрати якості</i>	Літ.	Аркуш	Аркушів
Перевірів	Буравченко К.О.					М	1	6
Н. Контр.	Коваленко А.С.				ЦНТУ КН-22М-2			
Затв.	Смірнов О.А.							

1 Найменування та область застосування

Це технічне завдання розповсюджується на дослідження та програмну реалізацію системи стиснення растрових зображень без втрати якості.

2 Підстава для розробки

Підставою для розробки служить завдання на випускню кваліфікаційну роботу за другим (магістерським) рівнем вищої освіти, видане на кафедрі кібербезпеки та програмного забезпечення (нак. № 33-13 від 04.08.2023 року).

3 Мета та призначення розробки

Метою випускної кваліфікаційної роботи за другим (магістерським) рівнем вищої освіти є дослідження та програмна реалізація системи стиснення растрових зображень без втрати якості.

4 Джерела розробки

Джерелом цієї випускної кваліфікаційної роботи за другим (магістерським) рівнем вищої освіти є стосовна до теми література і існуючі аналоги.

5 Технічні вимоги

5.1 Склад продукції

Складниками розробки є:

- вибір і обґрунтування методів реалізації проекту;
- розробка програмної частин системи, а також розробка взаємодії системи з ОС та з користувачем;

					ВКРМ-122.23.0064.00.00.ТЗ	Арк.
Вим.	Арк.	№ документа	Підпис	Дата		2

- техніко-економічне обґрунтування доцільності прийнятого до розробки програмного забезпечення;
- аналіз умов праці;
- розробка програми, що реалізує спроектовані алгоритми роботи системи.

5.2 Показники призначення

Система повинна забезпечувати:

- програмну реалізацію системи стиснення растрових зображень без втрати якості;
- цілісність даних у процесі роботи та при зберіганні;
- простий, інтуїтивно зрозумілий інтерфейс.

5.3 Вимоги до функціональних характеристик

Розроблене програмне забезпечення не повинно мати обмежень на версію драйверів та операційної системи.

5.4 Вимоги до архітектури

Компонент, що розробляється повинен використовувати системні засоби та апаратні засоби, що на даному етапі розвитку обчислювальної техніки найбільше поширені.

5.5 Вимоги до надійності

Програмні модулі написані по всім правилам, які стосуються стандартних викликів процедур, функцій, методів і форм, визначених технічною документацією на середовище розробки.

					ВКРМ-122.23.0064.00.00.ТЗ	Арк.
Вим.	Арк.	№ документа	Підпис	Дата		3

5.6 Умови експлуатації

Робочі місця користувачів ПЗ повинні задовольняти наступним умовам експлуатації:

- температура повітря: 19-20 град. по Цельсію;
- відносна вологість повітря до 80%;
- атмосферний тиск 107 кПа.

5.7 Вимоги до складу та параметрів технічних засобів

Програмне забезпечення повинно бути реалізоване на ПЕОМ архітектури IBM PC, працювати в ОС Windows 10/11 і з сумісними з цією платформою пристроями і прикладним програмним забезпеченням.

5.8 Вимоги до інформаційної і програмної сумісності

Переносність програмного забезпечення повинна бути забезпечена за рахунок його реалізації стандартного інтерфейсу взаємодії з ОС, що працюють під управлінням ОС Windows 10/11.

5.8.1 Обладнання

Комп'ютер Intel® Celeron/8 Mb/1.2 Gb/SVGA 14" 1Mb або сумісні з ним.

5.8.2 Мова програмування

Середовище Delphi 10.4.

					ВКРМ-122.23.0064.00.00.ТЗ	Арк.
Вим.	Арк.	№ документа	Підпис	Дата		2

5.8.3 Вхідні дані

Опис алгоритму роботи запропонованої системи.

5.8.4 Вихідні дані

Робоча програма.

6 Вимоги до програмної документації

Програмна продукція повинна бути представлена у виді опису структури даних, схем та опису алгоритму, а також текстів вихідних модулів програмного забезпечення згідно ЄСПД .

7 Економічні вимоги

7.1 Для ПЗ необхідно виробити функціонально-вартісний аналіз варіантів розробки.

7.2 Виконати розрахунок витрат показників економічного ефекту з урахуванням цін на 3 вересня 2023 року.

8 Вимоги щодо охорони праці

В частині охорони праці випускної кваліфікаційної роботи за другим (магістерським) рівнем вищої освіти повинні бути розглянуті шкідливі і небезпечні фактори при роботі з комп'ютером.

					ВКРМ-122.23.0064.00.00.ТЗ	Арк.
Вим.	Арк.	№ документа	Підпис	Дата		5

9 Перелік документів, що розробляються

- Наукова новизна – 1 аркуш.
- Структурна схема системи – 1 аркуш.
- Функціональна схема системи – 1 аркуш.
- Діаграма процесів – 1 аркуш.
- Блок-схема алгоритму роботи програми – 2 аркуша.
- Показники економічної ефективності – 1 аркуш.
- Пояснювальна записка – 103 аркушів.

10 Етапи розробки

10.1 Збір і обробка інформації по темі випускної кваліфікаційної роботи за другим (магістерським) рівнем вищої освіти. Постановка задачі на виконання випускної кваліфікаційної роботи за другим (магістерським) рівнем вищої освіти (складання ТЗ).

10.2 Проведення досліджень або експериментальних робіт для уточнення основних положень випускної кваліфікаційної роботи за другим (магістерським) рівнем вищої освіти.

10.3 Розробка функціональних схем, блок схем алгоритмів роботи програмного забезпечення.

10.4 Побудова схем взаємодії даних.

10.5 Створення прототипу ПЗ.

10.6 Віднаходження ПЗ, аналіз отриманих результатів.

10.7 Робота над питанням охорони праці і техніки безпеки.

10.8 Розрахунок з техніко-економічного обґрунтування.

10.9 Оформлення пояснювальної записки і виконання робіт по графічній частині.

11 Порядок контролю та приймання

11.1 Подання випускної кваліфікаційної роботи за другим (магістерським) рівнем вищої освіти на попередній захист 10.12.2023 р.

11.2 Подання випускної кваліфікаційної роботи за другим (магістерським) рівнем вищої освіти на захист 18.12.2023 р.

					ВКРМ-122.23.0064.00.00.ТЗ	Арк.
Вим.	Арк.	№ документа	Підпис	Дата		6

Додаток Б
(обов'язковий)

Міністерство освіти і науки України
Центральноукраїнський національний технічний університет

ЗАТВЕРДЖУЮ

Керівник випускної кваліфікаційної роботи за
другим (магістерським) рівнем вищої освіти
_____ Буравченко К.О.

*Дослідження та програмна реалізація
системи стиснення растрових зображень без втрати якості*

Лістинг програми

Код документу 12

Носій: CD/DVD-диск / USB-флеш-накопичувач

Загальна кількість аркушів: 20

Літера: РП

Кропивницький – 2023 року

FractalCompression.pas - файл алгоритму стиску растрових зображень без втрати якості за допомогою фракталів

```

unit FractalCompression;

interface

uses
  Windows, Messages, SysUtils, Graphics, Classes;

type
  // Опис одного регіону у вихідному файлі становить всього-на-всього 6 байт
  // У такий спосіб розмір файлу = Кількості регіонів * 6
  TIfsRec = packed record
    DomCoord, DomCoord: Word; // Координати лівого верхнього кута домену
    Betta, FormNum: Byte; // Розходження в яскравості, Номер перетворення
  end;

  TRegionRec = packed record
    MeanColor: Integer; // Усереднена кольороаяскравість
    Ifs: TIfsRec; // Параметри, що обчислюються при компресії
  end;

  TDomainRec = packed record
    MeanColor: Integer; // Усереднена кольороаяскравість
  end;

  // Заголовок файлу (8 байт)
  TIfsHeader = packed record
    FileExt: array[1..3] of Char;
    RegSize: Byte; // Розмір регіону
    XRegions, YRegions: Word; // Кількості регіонів по X и B
  end;

  // Типи афінних перетворень
  TTransformType = (ttRot0, ttRot90, ttRot180, ttRot270, ttSimm, ttSimm,
ttSimmDiag1, ttSimmDiag2);

  TProgressProc = procedure(Percent: Integer; TimeRemain: Cardinal) of Object;

  TFractal = class(TComponent)
  private
    SourImage: PByteArray; // Пікселі зображення після перетворення в сірий
    DomainImage: PByteArray; // Масив пікселів доменного зображення
    SourWidth: Integer; // Ширина зображення
    SourHeight: Integer; // Висота зображення
    FRegionSize: Integer; // Розмір регіону
    FDomainOffset: Integer; // Зсув доменів
    Regions: array of array of TRegionRec; // Інформація про регіони
    Domains: array of array of TDomainRec; // Інформація про домени
    FGamma: Real;
    FMaxImageSize: Integer; // Максимально припустимий розмір зображення
    FStop: Boolean;
    FIfsIsLoad: Boolean; // Перевіряє, чи була виконана компресія (
чизавантажені IFS-дані)
    FBaseRegionSize: Integer; // Розмір регіону при стиску

    {Очищає дані}
    procedure ClearData;

    {Генерує виняткову ситуація з повідомленням Msg}
    procedure Error(Msg: string; Args: array of const);

    {Створює масив посилань Regions на регіони }
    procedure CreateRegions;
  end;

```

```

{По вихідному зображенню SourImage створює доменне зображення}
procedure CreateDomainImage;

{Створює масив 2-мірний Domains, у який заноситься усереднена
кольорояскравість
для кожного домену}
procedure CreateDomains;

{Визначає усереднену яскравість для ділянки Image з початком у т. (X, Y)}
function GetMeanBrigth(Image: PByteArray; X, Y, Width: Integer): Byte;

function XRegions: Integer; // Число регіонів по X
function YRegions: Integer; // Число регіонів по Y

function XDomains: Integer; // Число доменів по X
function YDomains: Integer; // Число доменів по Y
function DomainImageWidth: Integer; // Ширина доменного зображення

procedure SetGamma(const Value: Real);
procedure SetMaxImageSize(const Value: Integer);

procedure SetRegionSize(const Value: Integer);
procedure SetDomainOffset(const Value: Integer);

{Трансформує заданий регіон у відповідності з TransformType. Пікселі в
заданому регіоні повинні йти один за одним}
procedure TransformRegion(Sour, Dest: PByteArray; TransformType:
TTransformType);

{Повертає різницю (метрична відстань) між регіоном і доменом}
function GetDifference(Region: PByteArray; DomCoord, DomCoord, Betta:
Integer): Integer;

{Копіює зазначений регіон з масиву AllImage у масив Dest.
Width - ширина масиву AllImage}
procedure CopyRegion(AllImage, Dest: PByteArray; X, Y, Width: Integer);
function GetPixel(X, Y: Integer): Byte;
public
constructor Create(AOwner: TComponent); override;

destructor Destroy; override;

{Виконує властиво сам стиск. При UseAllTransform будуть виконані
всі афінні перетворення: поворот і симетрія. У протилежному випадку
буде виконаний тільки поворот}
procedure Compress(UseAllTransform: Boolean = True; BackProc: TProgressProc
= nil);

{Примусово перериває процес фрактального стиску}
procedure Stop;

{Виконує розпакування зображення. IterCount - кількість ітерацій
розпакування,
RegSize - розмір регіону з розпакованому зображенні. Якщо ця величина
така ж, як RegionSize при стиску, то розмір зображення буде як при стиску.
При зменшенні RegSize розпаковане зображення зменшується й навпаки}
procedure Decompress(IterCount: Integer = 15; RegSize: Integer = 0);

{Будує зображення по доменам. Можна використовувати відразу після стиску для
того,
щоб перевірити якість стиску. Зображення, побудоване по доменам,
схоже на відновлене зображення, тільки має більшу контрастність}
procedure BuildImageWithDomains;

{Перевіряє, чи була виконана компресія ( чизавантажені IFS-дані, необхідні
для декомпресії). Якщо IfsIsLoad=True, то можна сміло робити декомпресію}
property IfsIsLoad: Boolean read FIfsIsLoad;

{Ширина зображення (вихідного, побудованого по доменам, або розпакованого)}

```

```

property ImageWidth: Integer read SourWidth;

{Висота зображення (вихідного, побудованого по доменам, або розпакованого)}
property ImageHeight: Integer read SourHeight;

{Повертає значення яскравості для зазначеного пікселя}
property Pixel[X, Y: Integer]: Byte read GetPixel;

{Завантажує повнокольорове зображення TBitmap для подальшої компресії}
procedure LoadImage(Image: TBitmap);

{Малює зображення на переданому TBitmap. При Regions = True рисується
вихідне
зображення, інакше рисується доменне зображення (воно таке ж, тільки
в 4 рази менше по площі)}
procedure DrawImage(Image: TBitmap; Regions: Boolean = True);

{Зберігає результат стиску у двійковий файл}
procedure SaveToFile(FileName: string);

{Виконує завантаження даних із двійкового файлу}
procedure LoadFromFile(FileName: string);

{Визначає, який розмір буде в IFS-Файлу після компресії}
function GetIFSFileSize(): Cardinal;
published
{Установлює розмір регіону.
УВАГА! Не можна змінювати розмір регіону після завантаження зображення для
компресії, тому що завантажене зображення коректується в
відповідності з RegionSize}
property RegionSize: Integer read FRegionSize write SetRegionSize;

{Величина зсуву домену. За замовчуванням = 1 (це число відповідає
доменному зображенню, що в 4 рази менше вихідного)}
property DomainOffset: Integer read FDomainOffset write SetDomainOffset;

{Колірний коефіцієнт Гама}
property Gamma: Real read FGamma write SetGamma;

{Максимальний розмір зображення}
property MaxImageSize: Integer read FMaxImageSize write SetMaxImageSize;
end;

procedure Register;
implementation

procedure Register;
begin
RegisterComponents('Samples', [TFractal]);
end;

{ TFractal }

procedure TFractal.ClearData;
begin
if Assigned(SourImage) then FreeMem(SourImage);
if Assigned(DomainImage) then FreeMem(DomainImage);
SourImage := nil;
DomainImage := nil;
SourWidth := 0;
SourHeight := 0;
Regions := nil;
Domains := nil;
end;

procedure TFractal.Compress(UseAllTransform: Boolean = True; BackProc:
TProgressProc = nil);
var

```

```

Reg, Reg, Dom, Dom, Error, BestError, Beta, TransNum, TransCount: Integer;
Region, BaseRegion: PByteArray;
DCoord, DCoord, BestFormNum, BestDom, BestDom, BestBeta: Integer;
Percent: Real;
Tc, OneRegTime, AllRegTime: Cardinal;
label
  LExit;
begin
  FStop := False;
  FIfsIsLoad := False;

  FBaseRegionSize := RegionSize;

  if UseAllTransform then TransCount := 8 else TransCount := 4;

  if SourImage = nil then
    raise Exception.Create('Зображення для фрактального стиску ще не
завантажено!');

  CreateRegions;
  CreateDomains;

  GetMem(BaseRegion, RegionSize * RegionSize);
  GetMem(Region, RegionSize * RegionSize);

  OneRegTime := 0;
  AllRegTime := 0;
  Tc := GetTickCount;
  // Перебираємо регіони
  for Reg := 0 to YRegions - 1 do
    for Reg := 0 to XRegions - 1 do
      begin
        if Reg * XRegions + Reg > 10 then Tc := GetTickCount;

        Percent := (Reg * XRegions + Reg) / (YRegions * XRegions) * 100;
        BestError := $7FFFFFFF;
        BestFormNum := -1;
        BestDom := -1;
        BestDom := -1;
        BestBeta := 0;

        CopyRegion(SourImage, BaseRegion, Reg * RegionSize, Reg * RegionSize,
SourWidth);

        // Перебираємо домени
        for Dom := 0 to YDomains - 1 do
          for Dom := 0 to XDomains - 1 do
            begin
              // Визначаємо різницю в яскравості. Вона завжди одна для будь-яких
трансформацій.
              Beta := Regions[Reg, Reg].MeanColor - Domains[Dom, Dom].MeanColor;

              DCoord := Dom * DomainOffset;
              DCoord := Dom * DomainOffset;

              // Проходимо цикл по трансформаціях
              for TransNum := 0 to TransCount - 1 do
                begin
                  // Виконуємо афінне перетворення
                  TransformRegion(BaseRegion, Region, TTransformType(TransNum));

                  // Визначаємо величину різниці між зображеннями
                  Error := GetDifference(Region, DCoord, DCoord, Beta);

                  // Запам'ятовуємо в тимчасові змінні кращі показники
                  if Error < BestError then
                    begin

```

```

        BestError := Error;
        BestFormNum := TransNum;
        BestDom := DCoord;
        BestDom := DCoord;
        BestBetta := Betta;
    end;

    if FStop then goto LExit; // Миттєва реакція на команду виходу Stop
end; // Цикл по трансформаціях
end; // Цикл по доменам

// Тепер відомо все, що потрібно для даного регіону
with Regions[Reg, Reg].Ifs do
begin
    DomCoord := BestDom;
    DomCoord := BestDom;
    Betta := BestBetta;
    if BestFormNum = 1 then BestFormNum := 3 else // 90 -> 270
        if BestFormNum = 3 then BestFormNum := 1; // 270 -> 90
    FormNum := BestFormNum;
end;

if Reg * XRegions + Reg = 10 then
begin
    OneRegTime := (GetTickCount - Tc) div 10;
    AllRegTime := OneRegTime * Cardinal(XRegions * YRegions);
end;
if Assigned(BackProc) and (Percent >= 0) then
    BackProc(Trunc(Percent), (AllRegTime - OneRegTime * Cardinal(Reg *
XRegions + Reg)) div 1000);

end; // Цикл по регіонах

FifsIsLoad := True;

LExit:

FreeMem(BaseRegion);
FreeMem(Region);
end;

constructor TFractal.Create(AOwner: TComponent);
begin
    inherited;
    FRegionSize := 8;
    DomainOffset := 1;
    Gamma := 0.75;
    MaxImageSize := 512;
end;

procedure TFractal.CreateDomains;
var
    Y, X: Integer;
begin
    Domains := nil;

    SetLength(Domains, XDomains, YDomains);

    // Для кожного домену визначаємо його координати й усереднену яскравість
    for Y := 0 to YDomains - 1 do
        for X := 0 to XDomains - 1 do
            Domains[X, Y].MeanColor := GetMeanBrigth(DomainImage, X * DomainOffset,
                Y * DomainOffset, DomainImageWidth);
        end;
end;

procedure TFractal.CreateRegions;
var
    X, Y: Integer;

```

```

begin
  Regions := nil;
  SetLength(Regions, XRegions, YRegions);

  // Для кожного регіону визначаємо його координати й усереднену яскравість
  for Y := 0 to YRegions - 1 do
    for X := 0 to XRegions - 1 do
      Regions[X, Y].MeanColor := GetMeanBrigth(SourImage, X * RegionSize, Y *
RegionSize, SourWidth);
    end;
end;

destructor TFractal.Destroy;
begin
  ClearData();
  inherited;
end;

procedure TFractal.DrawImage(Image: TBitmap; Regions: Boolean = True);
var
  X, Y, Pixel: Integer;
  Handle: HDC;
begin
  if SourWidth * SourHeight < 1 then
    Error('Помилка відмальовування зображення !', []);
  Image.Width := SourWidth;
  Image.Height := SourHeight;
  Handle := Image.Canvas.Handle;

  for Y := 0 to SourHeight - 1 do
    begin
      for X := 0 to SourWidth - 1 do
        begin
          Pixel := SourImage[Y * SourWidth + X];
          Pixel := (Pixel shl 16) + (Pixel shl 8) + Pixel;
          SetPixel(Handle, X, Y, Pixel);
        end;
      end;

      if not Regions then
        for Y := 0 to SourHeight div 2 - 1 do
          begin
            for X := 0 to SourWidth div 2 - 1 do
              begin
                Pixel := DomainImage[Y * DomainImageWidth + X];
                Pixel := (Pixel shl 16) + (Pixel shl 8) + Pixel;
                SetPixel(Handle, X, Y, Pixel);
              end;
            end;
          end;
        end;
      end;

procedure TFractal.Error(Msg: string; Args: array of const);
begin
  raise Exception.CreateFmt(Msg, Args);
end;

function TFractal.GetMeanBrigth(Image: PByteArray; X, Y, Width: Integer): Byte;
var
  I, J, Bufer: Integer;
begin
  Bufer := 0;
  for I := Y to Y + RegionSize - 1 do
    for J := X to X + RegionSize - 1 do
      Inc(Bufer, Image[I * Width + J]);
    end;
  Result := Trunc(Bufer / (RegionSize * RegionSize));
end;

procedure TFractal.LoadImage(Image: TBitmap);
var
  X, Y: Integer;

```

```

PixColor: TColor;
red, green, blue, mask: integer;
begin
  ClearData; // Видаляємо масиви

  SourWidth := (Image.Width div RegionSize) * RegionSize;
  SourHeight := (Image.Height div RegionSize) * RegionSize;
  if (SourWidth > MaxImageSize) or (SourWidth < 16) or
     (SourHeight > MaxImageSize) or (SourHeight < 16)
  then Error('Неприпустимі розміри зображення %d x %d', [Image.Width,
Image.Height]);

  // ===== Заповнюємо масив SourImage (для регіонів) =====
  // Виділяємо пам'ять під зображення
  GetMem(SourImage, SourWidth * SourHeight);

  // Робимо пікселі сірими й зберігаємо їх у строковому масиві SourImage
  mask := $000000FF;
  for Y := 0 to SourHeight - 1 do
    for X := 0 to SourWidth - 1 do
      begin
        PixColor := Image.Canvas.Pixels[X, Y]; // Визначаємо колір пікселя
        red := (PixColor shr 16)and mask;
        green := (PixColor shr 8)and mask;
        blue := PixColor and mask;
        SourImage[Y * SourWidth + X] := Byte((red + green + blue) div 3);
      //SourImage[Y * SourWidth + X] :=PixColor;
      end;
  // Всі! Тепер всі пікселі стали сірими.

  // ===== Заповнюємо масив DomainImage (для доменів) =====
  // Взагалі-те домени в 2 рази більше регіонів, однак через цього їх складно
порівнювати.
  // А от якщо ми доменне зображення зменшимо в 4 рази (по площі), то
  // розмір 1 домену стане рівним розміру 1 регіону, що набагато краще
  // і ощадливіше.
  CreateDomainImage;

  FIfsIsLoad := False;
end;

procedure TFractal.SetDomainOffset(const Value: Integer);
begin
  if (Value < 1) or (Value > 32) then
    Error('Задана неприпустима величина зсуву домену %d', [Value]);
  FDomainOffset := Value;
end;

procedure TFractal.SetGamma(const Value: Real);
begin
  if (Value < 0.1) or (Value > 1) then
    Error('Параметр GAMMA має неприпустиме значення %d', [Value]);
  FGamma := Value;
end;

procedure TFractal.SetMaxImageSize(const Value: Integer);
begin
  FMaxImageSize := Value;
end;

procedure TFractal.SetRegionSize(const Value: Integer);
begin
  if (Value < 2) or (Value > 64) then
    Error('Задане неприпустиме значення регіону %d', [Value]);
  FRegionSize := Value;
end;

function TFractal.XDomains: Integer;
begin

```

```

    Result := SourWidth div (2 * DomainOffset) - 1;
    if Result <= 1 then
        Error('Неприпустима кількість доменів по X %d', [Result]);
    end;

function TFractal.YDomains: Integer;
begin
    Result := SourHeight div (2 * DomainOffset) - 1;
    if Result <= 1 then
        Error('Неприпустима кількість доменів по Y %d', [Result]);
    end;

function TFractal.XRegions: Integer;
begin
    Result := SourWidth div RegionSize;
end;

function TFractal.YRegions: Integer;
begin
    Result := SourHeight div RegionSize;
end;

procedure TFractal.TransformRegion(Sour, Dest: PByteArray; TransformType:
TTransformType);
var
    I, J: Integer;
begin
    case TransformType of
        ttRot0: // Поворот на 0 градусів
            begin
                for I := 0 to RegionSize - 1 do
                    for J := 0 to RegionSize - 1 do
                        Dest[I * RegionSize + J] := Sour[I * RegionSize + J];
                    end;
            end;

        ttRot90: // Поворот на 90 градусів
            begin
                for I := 0 to RegionSize - 1 do
                    for J := 0 to RegionSize - 1 do
                        Dest[(RegionSize - 1 - J) * RegionSize + I] := Sour[I * RegionSize +
J];
                    end;
                end;

        ttRot180: // Поворот на 180 градусів
            begin
                for I := 0 to RegionSize - 1 do
                    for J := 0 to RegionSize - 1 do
                        Dest[(RegionSize - 1 - I) * RegionSize + (RegionSize - 1 - J)] :=
Sour[I * RegionSize + J];
                    end;
                end;

        ttRot270: // Поворот на 270 градусів
            begin
                for I := 0 to RegionSize - 1 do
                    for J := 0 to RegionSize - 1 do
                        Dest[J * RegionSize + (RegionSize - 1 - I)] := Sour[I * RegionSize +
J];
                    end;
                end;

        ttSimm: // Симетрія відносно X
            begin
                for I := 0 to RegionSize - 1 do
                    for J := 0 to RegionSize - 1 do
                        Dest[(RegionSize - 1 - I) * RegionSize + J] := Sour[I * RegionSize +
J];
                    end;
                end;

        ttSimm: // Симетрія відносно Y
            begin

```

```

    for I := 0 to RegionSize - 1 do
        for J := 0 to RegionSize - 1 do
            Dest[I * RegionSize + (RegionSize - 1 - J)] := Sour[I * RegionSize +
J];
        end;
    end;

    ttSimmDiag1: // Симетрія від. головної діагоналі
    begin
        for I := 0 to RegionSize - 1 do
            for J := 0 to RegionSize - 1 do
                Dest[J * RegionSize + I] := Sour[I * RegionSize + J];
            end;
        end;

    ttSimmDiag2: // Симетрія від. другорядної діагоналі
    begin
        for I := 0 to RegionSize - 1 do
            for J := 0 to RegionSize - 1 do
                Dest[(RegionSize - 1 - J) * RegionSize + (RegionSize - 1 - I)] :=
Sour[I * RegionSize + J];
            end;
        end;
    end;

    function TFractal.DomainImageWidth: Integer;
    begin
        Result := SourWidth div 2;
    end;

    procedure TFractal.LoadFromFile(FileName: string);
    var
        X, Y: Integer;
        Header: TIifsHeader;
    begin
        if not FileExists(FileName) then
            Error('Файл "%s" не існує', [FileName]);

        with TMemoryStream.Create do
            begin
                LoadFromFile(FileName);
                Seek(0, soFromBeginning);
                Read(Header, SizeOf(TIifsHeader));
                if Header.FileExt <> 'IFS' then
                    begin
                        Free;
                        Error('Файл "%s" має неприпустимий формат!', [FileName]);
                    end;

                SourWidth := Header.XRegions * Header.RegSize;
                SourHeight := Header.YRegions * Header.RegSize;
                RegionSize := Header.RegSize;

                Regions := nil;

                SetLength(Regions, XRegions, YRegions);
                for Y := 0 to YRegions - 1 do
                    for X := 0 to XRegions - 1 do
                        Read(Regions[X, Y].Iifs, SizeOf(TIifsRec));

                    Free;
                end;

                // Потрібний для масштабування при декомпресії
                FBaseRegionSize := RegionSize;

                FIifsIsLoad := True;
            end;

        procedure TFractal.SaveToFile(FileName: string);
        var

```

```

X, Y: Integer;
Header: TifsHeader;
begin
  if Regions = nil then
    Error('Стиск зображення не виконано!', []);

  if FileExists(FileName) and not DeleteFile(FileName) then
    Error('Неможливо видалити файл %s. Можливо він використовується іншим
додатком' +
      ' або доступний тільки для читання.', [FileName]);

  Header.FileExt := 'IFS';
  Header.RegSize := RegionSize;
  Header.XRegions := XRegions;
  Header.YRegions := YRegions;

  with TMemoryStream.Create() do
  begin
    // Зберігаємо заголовну інформацію
    Write(Header, SizeOf(TifsHeader));
    for Y := 0 to YRegions - 1 do
      for X := 0 to XRegions - 1 do
        Write(Regions[X, Y].Ifs, SizeOf(TIfsRec));

    try
      SaveToFile(FileName);
    except
      Free;
      Error('Відбулася помилка при збереженні у файл "%s"', [FileName]);
    end;
    Free;
  end;
end;

procedure TFractal.Decompress(IterCount: Integer = 15; RegSize: Integer = 0);
var
  I, J, X, Y, Pixel, Iter: Integer;
  Domain1, Domain2: PByteArray;
  Scale: Real;
begin
  // Масив Region повинен бути вже заповненим.
  if not FifsIsLoad then
    Error('Дані, необхідні для декомпресії, не завантажені!', []);

  Scale := 1;
  if RegSize >= 2 then
  begin
    SourWidth := XRegions * RegSize;
    SourHeight := YRegions * RegSize;
    Scale := FBaseRegionSize / RegSize;
    RegionSize := RegSize;
  end;

  // Створюємо сіре зображення.
  if Assigned(SourImage) then FreeMem(SourImage);
  GetMem(SourImage, SourWidth * SourHeight);

  // Робимо пікселі сірими й зберігаємо їх у строковому масиві SourImage
  for I := 0 to SourHeight * SourWidth - 1 do SourImage[I] := 127;

  for Iter := 1 to IterCount do
  begin
    // Створюємо доменне зображення
    CreateDomainImage;
    // Доменне й регіонне зображення створили

```

```

// Проходимо по всіх регіонах
for J := 0 to YRegions - 1 do
  for I := 0 to XRegions - 1 do
    begin
      // Запам'ятовуємо відповідних домен, щоб над ним можна було виконати
      перетворення
      GetMem(Domain1, RegionSize * RegionSize);
      GetMem(Domain2, RegionSize * RegionSize);
      CopyRegion(DomainImage, Domain1,
        Trunc(Regions[I, J].Ifs.DomCoord / Scale),
        Trunc(Regions[I, J].Ifs.DomCoord / Scale), DomainImageWidth);

      // Виконуємо задане перетворення
      TransformRegion(Domain1, Domain2, TTransformType(Regions[I,
J].Ifs.FormNum));

      // Змінюємо пікселі поточного регіону
      for Y := 0 to RegionSize - 1 do
        for X := 0 to RegionSize - 1 do
          begin
            Pixel := Domain2[Y * RegionSize + X] + Regions[I, J].Ifs.Betta;
            SourImage[(J * RegionSize + Y) * SourWidth + I * RegionSize + X] :=
Pixel;
          end;

          FreeMem(Domain1);
          FreeMem(Domain2);
        end;
      end;
    end;

procedure TFractal.CreateDomainImage;
var
  X, Y, PixColor: Integer;
begin
  if Assigned(DomainImage) then FreeMem(DomainImage);
  GetMem(DomainImage, SourWidth * SourHeight div 4);

  for Y := 0 to SourHeight div 2 - 1 do
    for X := 0 to SourWidth div 2 - 1 do
      begin
        // Визначаємо усереднений колір пікселя (по кольорам 4-х сусідніх
        пікселів)
        PixColor :=
          SourImage[Y * 2 * SourWidth + X * 2] + SourImage[Y * 2 * SourWidth + X *
2 + 1] +
          SourImage[(Y * 2 + 1) * SourWidth + X * 2] + SourImage[(Y * 2 + 1) *
SourWidth + X * 2 + 1];
        DomainImage[Y * DomainImageWidth + X] := Trunc(PixColor / 4 * Gamma);
      end;
    end;

function TFractal.GetDifference(Region: PByteArray; DomCoord,
  DomCoord, Betta: Integer): Integer;
var
  X, Y, Diff: Integer;
begin
  Result := 0;
  for Y := 0 to RegionSize - 1 do
    for X := 0 to RegionSize - 1 do
      begin
        Diff := Region[Y * RegionSize + X] -
          DomainImage[(DomCoord + Y) * DomainImageWidth + DomCoord + X];

        Inc(Result, Sqr(Abs(Diff - Betta)));
      end;
    end;

procedure TFractal.CopyRegion(AllImage, Dest: PByteArray; X, Y,

```

```

    Width: Integer);
var
  I, J: Integer;
begin
  for I := 0 to RegionSize - 1 do
    for J := 0 to RegionSize - 1 do
      Dest[I * RegionSize + J] := AllImage[(Y + I) * Width + X + J];
    end;
end;

procedure TFractal.BuildImageWithDomains;
var
  I, J, X, Y: Integer;
  Domain1, Domain2: PByteArray;
begin
  if not FIfsIsLoad then
    Error('Дані, необхідні для відновлення по доменам, не завантажені!', []);

  for J := 0 to YRegions - 1 do
    for I := 0 to XRegions - 1 do
      begin
        GetMem(Domain1, RegionSize * RegionSize);
        GetMem(Domain2, RegionSize * RegionSize);

        // Копіюємо домен
        CopyRegion(DomainImage, Domain1, Regions[I, J].Ifs.DomCoord,
          Regions[I, J].Ifs.DomCoord, DomainImageWidth);

        // Виконуємо афінне перетворення
        TransformRegion(Domain1, Domain2, TTransformType(Regions[I,
          J].Ifs.FormNum));

        // Копіюємо домен у регіон
        for Y := 0 to RegionSize - 1 do
          for X := 0 to RegionSize - 1 do
            SourImage[(J * RegionSize + Y) * SourWidth + I * RegionSize + X] :=
              Domain2[Y * RegionSize + X] + Regions[I, J].Ifs.Betta;

            FreeMem(Domain1);
            FreeMem(Domain2);
          end;
        end;
      end;
    end;

  procedure TFractal.Stop;
  begin
    FStop := True;
  end;

  function TFractal.GetPixel(X, Y: Integer): Byte;
  begin
    Result := SourImage[Y * SourWidth + X];
  end;

  function TFractal.GetIFSFileSize: Cardinal;
  begin
    Result := (ImageWidth div RegionSize) * (ImageHeight div RegionSize) *
      SizeOf(TIfsRec);
    if Result > 0 then Inc(Result, SizeOf(TIfsHeader));
  end;

end.

```

FractComp.dpr - файл проекту

```
program FractComp;

uses
  Forms,
  U_Main in 'U_Main.pas' {Form1},
  about in 'about.pas' {Form2},
  U_ShowImage in 'U_ShowImage.pas' {fmShowImage},
  FractalCompression in 'FractalCompression.pas';

{$R *.res}

begin
  Application.Initialize;
  Application.CreateForm(TForm1, Form1);
  Application.CreateForm(TForm2, Form2);
  Application.Run;
end.
```

КБПЗ - 2023

U_Main.pas - файл головної програми

```
unit U_Main;

interface

uses
  Windows, Messages, SysUtils, Variants, Classes, Graphics, Controls, Forms,
  about,
  Dialogs, StdCtrls, ExtCtrls, jpeg, ExtDlgs, FractalCompression, ComCtrls,
  Menus;

type
  TForm1 = class(TForm)
    ImPreview: TImage;
    Edit1: TEdit;
    Button1: TButton;
    Button2: TButton;
    OpenPictureDialog1: TOpenPictureDialog;
    lbSize: TLabel;
    CheckBox1: TCheckBox;
    ProgressBar1: TProgressBar;
    Button4: TButton;
    Button5: TButton;
    Label4: TLabel;
    Edit2: TEdit;
    Label5: TLabel;
    Edit3: TEdit;
    Button3: TButton;
    OpenFileDialog1: TOpenDialog;
    Button6: TButton;
    Label6: TLabel;
    Edit4: TEdit;
    Button7: TButton;
    Button8: TButton;
    CheckBox2: TCheckBox;
    Label8: TLabel;
    Edit5: TEdit;
    Label9: TLabel;
    lbTime: TLabel;
    Button9: TButton;
    MainMenu1: TMainMenu;
    N1: TMenuItem;
    N2: TMenuItem;
    N3: TMenuItem;
    N4: TMenuItem;
    Label2: TLabel;
    Label7: TLabel;
    Label3: TLabel;
    Image1: TImage;
    Label12: TLabel;
    Label13: TLabel;
    Label14: TLabel;
    Label15: TLabel;
    Label16: TLabel;
    Label17: TLabel;
    Button10: TButton;
    Label10: TLabel;
    Label11: TLabel;
    Edit6: TEdit;
    Button11: TButton;
    SaveDialog1: TSaveDialog;
    procedure Button1Click(Sender: TObject);
    procedure FormCreate(Sender: TObject);
    procedure Button2Click(Sender: TObject);
    procedure Button4Click(Sender: TObject);
    procedure Button5Click(Sender: TObject);
    procedure Button3Click(Sender: TObject);
    procedure Button6Click(Sender: TObject);
```

```

    procedure Button7Click(Sender: TObject);
    procedure Button8Click(Sender: TObject);
    procedure Button9Click(Sender: TObject);
    procedure Button10Click(Sender: TObject);
    procedure ImPreviewClick(Sender: TObject);
    procedure Image1Click(Sender: TObject);
    procedure Button11Click(Sender: TObject);
private
    { Private declarations }
public
    { Public declarations }
    ImageExists: Boolean;
    procedure ProgressProc(Percent: Integer; TimeRemain: Cardinal);
end;

var
    Form1: TForm1;
    FractalComp: TFractal;
    FractalDeComp: TFractal;

implementation

uses U_ShowImage;

{$R *.dfm}

procedure TForm1.Button1Click(Sender: TObject);
var SearchRec: TSearchRec; t:extended; tt:integer;
    f: file of Byte;      size: Longint;

begin
    if OpenPictureDialog1.Execute then
        begin
            try
                ImPreview.Picture.LoadFromFile(OpenPictureDialog1.FileName);
                if (ImPreview.Picture.Width > 512) or (ImPreview.Picture.Height > 512)
            then Abort;
                lbSize.Caption := Format('%d x %d', [ImPreview.Picture.Width,
            ImPreview.Picture.Height]);
                labell11.Caption := lbSize.Caption;
            Кбайт');

                FindFirst(OpenPictureDialog1.FileName, faAnyFile, SearchRec);
                t:=((SearchRec.Size*100 )div (1024))/100;

            Label17.Caption := floattostr(t) + ' Кбайт';
            FindClose(SearchRec);

                ImageExists := True;

                // Завантажуємо зображення в об'єкт винятково з метою реалізації
                // операції передперегляду
                FractalComp.LoadImage(ImPreview.Picture.Bitmap);
                Edit1.Text := OpenPictureDialog1.FileName;
            except
                ImPreview.Picture := nil;
                ImPreview.Canvas.TextOut(5, 10, 'Помилка');
                ImPreview.Canvas.TextOut(5, 30, 'завантаження');
                lbSize.Caption := '';
                ImageExists := False;

            end;
        end;
    end;
end;

```

```

procedure TForm1.FormCreate(Sender: TObject);
begin
  ImPreview.Canvas.TextOut(5, 10, '');
  ImPreview.Canvas.TextOut(5, 30, '');

  Image1.Canvas.TextOut(5, 10, '');
  Image1.Canvas.TextOut(5, 30, '');

  FractalComp := TFracal.Create(Application);
  FractalDeComp := TFracal.Create(Application);
end;

procedure TForm1.Button2Click(Sender: TObject);
begin
  // Показує зображення на екрані повністю.
  if ImageExists then
  begin
    Application.CreateForm(TfmShowImage, fmShowImage);
    if CheckBox1.Checked then
      FractalComp.DrawImage(fmShowImage.Image1.Picture.Bitmap, False)
    else
      fmShowImage.Image1.Picture := ImPreview.Picture;

    with fmShowImage do
    begin
      AutoSize := True;
      Position := poScreenCenter;
      ShowModal;
    end;

    FreeAndNil(fmShowImage);
  end;
end;

procedure TForm1.ProgressProc(Percent: Integer; TimeRemain: Cardinal);
begin
  ProgressBar1.Position := Percent;
  lbTime.Caption := IntToStr(TimeRemain);
  Application.ProcessMessages;
end;

procedure TForm1.Button4Click(Sender: TObject);
begin
  if ImageExists then
  begin
    FractalComp.RegionSize := StrToInt(Edit3.Text);
    FractalComp.DomainOffset := StrToInt(Edit2.Text);

    FractalComp.LoadImage(ImPreview.Picture.Bitmap);
    FractalComp.Compress(CheckBox2.Checked, ProgressProc);

    ProgressBar1.Position := 0;
    lbTime.Caption := '';
    FractalComp.BuildImageWithDomains;

    FractalComp.DrawImage(Image1.Picture.Bitmap);
    label15.Caption := (floatToStr(((FractalComp.GetIFSFileSize*100) div 1024)/100)
  ) + ' Кбайт');
  end;
end;

procedure TForm1.Button5Click(Sender: TObject);
begin
  OpenDialog1.Title := 'Збереження IFS-даних';
  if OpenDialog1.Execute then
    FractalComp.SaveToFile(OpenDialog1.FileName);
end;

```

```

procedure TForm1.Button3Click(Sender: TObject);
begin
  OpenDialog1.Title := 'Завантаження IFS-даних';
  if OpenDialog1.Execute then
    FractalDeComp.LoadFromFile(OpenDialog1.FileName);
end;

procedure TForm1.Button6Click(Sender: TObject);
begin
  OpenDialog1.Title := 'Завантаження IFS-даних';
  if OpenDialog1.Execute then begin
    FractalDeComp.LoadFromFile(OpenDialog1.FileName);

    FractalDeComp.Decompress(StrToInt(Edit4.Text), StrToInt(Edit5.Text));
    // Показує зображення на екрані повністю.

Application.CreateForm(TfmShowImage, fmShowImage);
FractalDeComp.DrawImage(Image2.Picture.Bitmap);
end;

FractalComp.DrawImage(Image2.Picture.Bitmap);

  with fmShowImage do
  begin
    AutoSize := True;
    Position := poScreenCenter;
ShowModal;
end;

  FreeAndNil(fmShowImage);

end;

procedure TForm1.Button7Click(Sender: TObject);
begin
  FractalComp.BuildImageWithDomains;

  FractalComp.DrawImage(Image1.Picture.Bitmap);

end;

procedure TForm1.Button8Click(Sender: TObject);
begin
  FractalComp.Stop;
end;

procedure TForm1.Button9Click(Sender: TObject);
begin
  ShowMessage(floatToStr(((FractalComp.GetIFSFileSize*100) div 1024)/100) + '
байт');
end;

procedure TForm1.Button10Click(Sender: TObject);
begin
Image1.Picture.SaveToFile('1.bmp');

end;

procedure TForm1.ImPreviewClick(Sender: TObject);
begin
  // Показує зображення на екрані повністю.
  if ImageExists then
  begin
    Application.CreateForm(TfmShowImage, fmShowImage);
    if CheckBox1.Checked then
      FractalComp.DrawImage(fmShowImage.Image1.Picture.Bitmap, False)
    else

```

```
fmShowImage.Image1.Picture := ImPreview.Picture;

with fmShowImage do
begin
  AutoSize := True;
  Position := poScreenCenter;
  ShowModal;
end;

FreeAndNil(fmShowImage);
end;
end;

procedure TForm1.Image1Click(Sender: TObject);
begin
  // Показує зображення на екрані повністю.
  if ImageExists then
  begin
    Application.CreateForm(TfmShowImage, fmShowImage);
    if CheckBox1.Checked then
      FractalComp.DrawImage(fmShowImage.Image1.Picture.Bitmap, False)
    else
      fmShowImage.Image1.Picture := Image1.Picture;

    with fmShowImage do
    begin
      AutoSize := True;
      Position := poScreenCenter;
      ShowModal;
    end;

    FreeAndNil(fmShowImage);
  end;
end;

procedure TForm1.Button11Click(Sender: TObject);
begin
  if saveDialog1.Execute then begin
    Edit6.Text := saveDialog1.FileName;
    FractalComp.SaveToFile(saveDialog1.FileName);
  end;
end;

end.
```

about.pas - файл довідки

```
unit about;

interface

uses
  Windows, Messages, SysUtils, Variants, Classes, Graphics, Controls, Forms,
  Dialogs, StdCtrls, Buttons, ExtCtrls;

type
  TForm2 = class(TForm)
    Image1: TImage;
    BitBtn1: TBitBtn;
    Label1: TLabel;
    Label2: TLabel;
    Label3: TLabel;
    Label4: TLabel;
    Label5: TLabel;
    Label6: TLabel;
    Label7: TLabel;
    Label8: TLabel;
    procedure BitBtn1Click(Sender: TObject);
  private
    { Private declarations }
  public
    { Public declarations }
  end;

var
  Form2: TForm2;

implementation

{$R *.dfm}

procedure TForm2.BitBtn1Click(Sender: TObject);
begin
  Form2.Close;
end;

end.
```